

---

# 《信号与系统》知识点讲座初稿

# 课程内容

## 研究对象

信号

连续时间信号

离散时间信号

系统

连续时间系统

离散时间系统

## 研究内容

信号描述  
信号特性  
信号运算

系统描述  
系统求解  
特性分析

## 研究方法

时域分析方法

频域分析方法  
(傅里叶变换)

复频域分析方法  
(拉普拉斯变换)  
(Z变换)

## 教材及参考资料

- 《信号与系统》  
    <美>奥本海姆等著，刘树棠译，西安交通大学出版社
- 《信号与系统分析》（第二版）  
    吴京教授，国防科技大学出版社
- 《信号与系统》（第三版）  
    郑君里等，高等教育出版社
- 微信公众号：信号与系统和数字信号处理  
    丹梅老师
- 《信号与线性系统分析》  
    吴大正，高等教育出版社

# 学习方法

## □ 物理概念和数学方法相结合

（概念是基础，数学是工具）

## □ 相互关联，对比分析，理解记忆

## □ 构建自己的知识库（概念、定理、性质、变换对）

## □ 加强习题练习（加深对概念的理解）

## □ 可利用Matlab/Python等语言进行仿真

（三位一体方法：老师讲解、操作实践、程序设计）

## □ 总结归纳（“听课/复习/总结/做题/预习”循环）

# 第一章 引论

---

## ■ 信号的定义与分类

- 确定信号、随机信号
- 连续时间信号、离散时间信号
- 周期信号、非周期信号
- 功率信号、能量信号
- 因果信号、非因果信号
- 奇信号、偶信号

## ■ 系统的分类

- 连续/离散时间系统
- 因果/非因果系统
- 线性/非线性系统
- 时变/时不变系统
- 稳定/不稳定系统
- 有记忆/无记忆系统

# 1、系统线性/非线性、时变/时不变性的判定

## 时不变性的判定

第1类：代数方程或简单的积分方程

第2类：用微分/差分方程表示的系统

判断下列系统是否为时不变系统？并说明理由。

(1)  $y(t)=x(t-b)$ ,  $b$  为实常数

(2)  $y(t)=x(at)$ ,  $a$  为实常数, 且  $a \neq 0$ 、 $a \neq 1$ 。

(3)  $y(t) = \int_{-\infty}^{3t} x(\tau) d\tau$

(4)  $y(n) = (n-1)y(0) + (n-1)x(n)$ , 其中  $y(0)$  表示系统的初始状态

(5)  $y''(t) + 2y'(t) + y^2(t) = x(t)$

微分方程

(6)  $y''(t) + \sin t \cdot y'(t) + y(t) = x(t)$

# 1、系统线性/非线性、时变/时不变性的判定

## 线性/非线性的判定

判断下列系统是否为线性系统，并说明理由。

$$(1) \quad y(n) = (n-1)y(0) + (n-1)x(n)$$

$$(2) \quad y''(t) + \sin t \cdot y'(t) + y(t) = 2x(t)$$

$$(3) \quad y''(t) + 3y'(t) + y(t) = 2[x(t)]^2$$

$$(4) \quad y''(t) + y(t) \cdot y'(t) = x(t)$$

第一种：按照线性系统的定义式判定

线性系统的三个条件：分解性、零输入线性、零状态线性

第二种：

以微分/差分方程描述的系统，若方程不是线性微分/差分方程，则为非线性系统。

# 1、系统线性/非线性、时变/时不变性的判定

## 【例1】（南开大学2004年考研试题）

一LTI因果系统，当激励 $f_1(t)=u(t)$ 时，系统的全响应为  $y_1(t)=(3e^{-t}+4e^{-2t})u(t)$ ；  
当激励 $f_2(t)=2u(t)$ 时，系统的全响应为  $y_2(t)=(5e^{-t}-3e^{-2t})u(t)$ ，求在相同初始条件下，激励为 $f_3(t)=u(t-2)$ 时的全响应 $y_3(t)$

【解】：相同初始条件为 $y(0)$ ，已知

$$y(0), f_1(t)=u(t) \rightarrow y_1(t)=(3e^{-t}+4e^{-2t})u(t) \quad (1)$$

$$y(0), f_2(t)=2u(t) \rightarrow y_2(t)=(5e^{-t}-3e^{-2t})u(t) \quad (2)$$

根据线性性，(2) - (1) 得

$$y(0)=0, f_2(t)=u(t) \rightarrow y(t)=(2e^{-t}-7e^{-2t})u(t) \quad (3)$$

(1) - (3) 得

$$y(0), f(t)=0 \rightarrow y(t)=(e^{-t}+11e^{-2t})u(t) \quad (4)$$

由时不变性，根据 (3)

$$y(0)=0, f_3(t)=u(t-2) \rightarrow y(t)=[2e^{-(t-2)}-7e^{-2(t-2)}]u(t-2) \quad (5)$$

(5) + (4) 即全响应

$$y_3(t)=(e^{-t}+11e^{-2t})u(t)+[2e^{-(t-2)}-7e^{-2(t-2)}]u(t-2)$$



# 1、系统线性/非线性、时变/时不变性的判定

## 总结：

### 线性系统：

- 可分解性；
- 零输入线性（看  $y(0)$ ）；
- 零状态线性（看  $f(t)$ ）

### 时不变性：

- 时不变只看零状态响应
- 如果  $f(\cdot)$  前出现变系数，或有展缩、翻转运算，则为时变系统；如果仅仅有延时，则为时不变系统。

### 因果系统：

先有因再有果

### 稳定系统（BIBO）：

对于任意一个有界输入，输出也有界。通常通过系统函数判断

# 第二章 信号的时域分析

---

## ■ 常用信号及其基本特性

- 连续时间复指数信号
- 连续时间阶跃信号
- 连续时间冲激信号
- 离散时间单位样值信号
- 离散时间阶跃信号
- 离散时间复指数信号

## ■ 信号的时域运算

- 信号的加减与乘法运算
- 信号的累加与差分运算
- 信号的积分与微分运算
- 信号的翻转、展缩与平移
- 信号的卷积运算（连续、离散）

# 1、冲激函数的性质及卷积积分

## ■ 冲激信号的性质

- 相乘特性
- 取样特性
- 展缩特性

$$\begin{aligned}x(t)\delta(t-t_0) &= x(t_0)\delta(t-t_0) \\ \int_{-\infty}^{\infty} x(t)\delta(t-t_0)dt &= x(t_0) \\ \delta(at+b) &= \frac{1}{|a|}\delta\left(t+\frac{b}{a}\right)\end{aligned}$$

## ■ 冲激偶信号的性质

- 相乘特性
- 取样特性
- 展缩特性

$$f(t) \cdot \delta'(t-t_0) = f(t_0) \cdot \delta'(t-t_0) - f'(t_0)\delta(t-t_0)$$

$$\int_{-\infty}^{\infty} f(t)\delta'(t-t_0)dt = -f'(t_0)$$

# 1、冲激函数的性质及卷积积分

- (1)  $\delta(t)$  是卷积的单位元
- (2)  $\delta(t-t_0)$  是卷积的延迟器
- (3)  $\delta'(t)$  是卷积的微分器
- (4)  $u(t)$  是卷积的积分器

例1  $u(t-1) * u(t-2) - u(t-1) * u(t-3)$   
 $= (t-3)u(t-3) - (t-4)u(t-4)$

例2  $[e^{\lambda_1 t} u(t)] * [e^{\lambda_2 t} u(t)] = \frac{1}{\lambda_1 - \lambda_2} [e^{\lambda_1 t} - e^{\lambda_2 t}] u(t)$   
( $\lambda_1 \neq \lambda_2$ )

# 1、冲激函数的性质及卷积积分

## 常用卷积性质表

若 $x_1(t)*x_2(t)=f(t)$ , 则 $x_1(t-t_1)*x_2(t-t_2)=f(t-t_1-t_2)$	若 $x_1(n)*x_2(n)=f(n)$ , 则 $x_1(n-n_1)*x_2(n-n_2)=f(n-n_1-n_2)$
$u(t)*u(t)=tu(t)$	$u(n)*u(n)=\underline{(n+1)u(n)}$
$e^{at}u(t)*u(t)=-\frac{1}{a}(1-e^{at})u(t)$	$[a^n u(n)]*u(n)=\frac{1-a^{n+1}}{1-a}u(n)$
$[e^{at}u(t)]*[e^{at}u(t)]=te^{at}u(t)$	$[a^n u(n)]*[a^n u(n)]=\underline{(n+1)a^n u(n)}$
$[e^{at}u(t)]*[e^{bt}u(t)]=\frac{e^{at}-e^{bt}}{a-b}u(t), a \neq b$	$[a^n u(n)]*[b^n u(n)]=\frac{a^{n+1}-b^{n+1}}{a-b}u(n), a \neq b$

卷积是基础；教材上其他附表也应熟练掌握！

## 2、卷积和的计算

### 3. 竖式法

“对位相乘求和”法，步骤：

- ① 右端对齐
- ② 逐点相乘
- ③ 累加求和（千万不要进位）
- ④ 起始相加

例：已知两序列如下，求其卷积和。

$$x(n) = \delta(n) + 2\delta(n-2) + \delta(n-3)$$

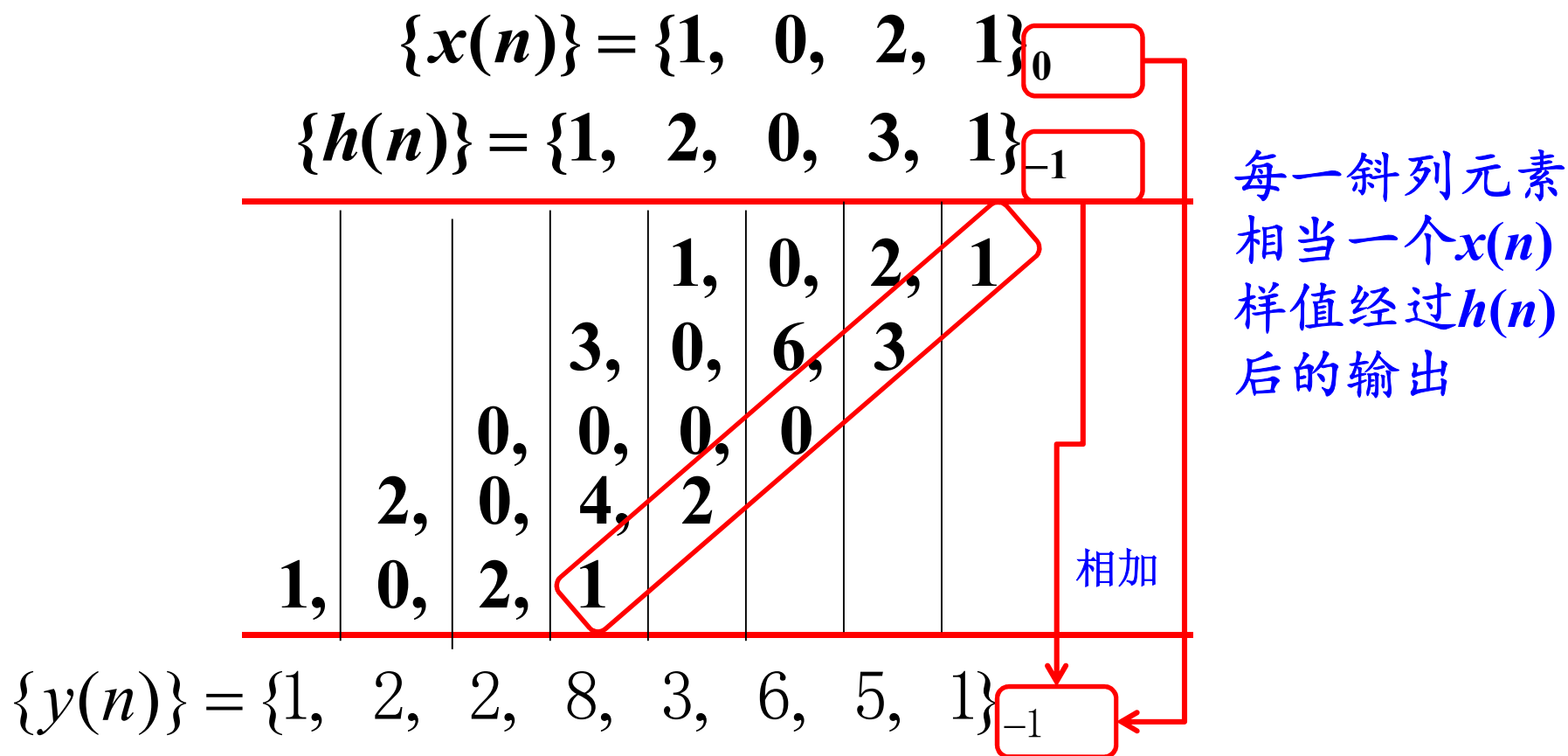
$$h(n) = \delta(n+1) + 2\delta(n) + 3\delta(n-2) + \delta(n-3)$$

解：将以上离散时间信号写成序列。

$$\{x(n)\} = \{1, 0, 2, 1\}_0 \quad \{h(n)\} = \{1, 2, 0, 3, 1\}_{-1}$$

注意序列的完整性，零值不能漏。

## 2、卷积和的计算



$$\begin{aligned}
 y(n) = & \delta(n+1) + 2\delta(n) + 2\delta(n-1) + 8\delta(n-2) \\
 & + 3\delta(n-3) + 6\delta(n-4) + 5\delta(n-5) + \delta(n-6)
 \end{aligned}$$

Matlab卷积函数: **conv (A, B)**

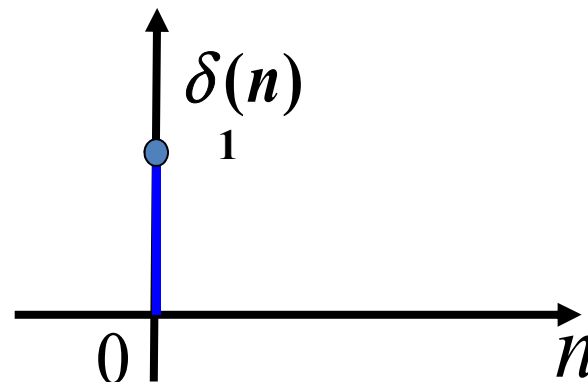
## 2、卷积和的计算

### $\delta(n)$ 的性质

#### □ 相乘特性

$$x(n)\delta(n) = x(0)\delta(n)$$

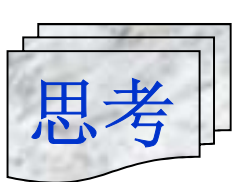
$$x(n)\delta(n - n_0) = x(n_0)\delta(n - n_0)$$



#### □ 取样特性

$$\sum_{n=-\infty}^{\infty} x(n)\delta(n) = x(0)$$

$$\sum_{n=-\infty}^{\infty} x(n)\delta(n - k) = x(k)$$



$$\sum_{n=-\infty}^{\infty} \delta(n) = ?$$

$$= 1$$

$$\sum_{n=-\infty}^{\infty} (n - 8)\delta(n) = ?$$

$$= -8$$

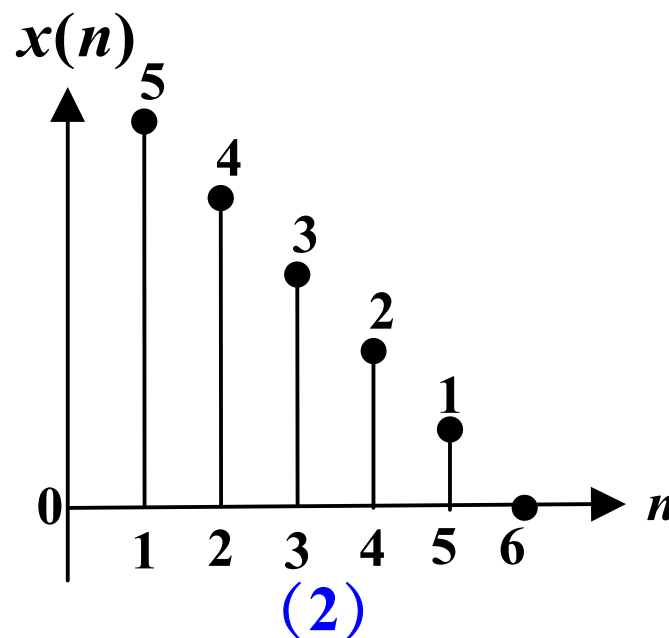
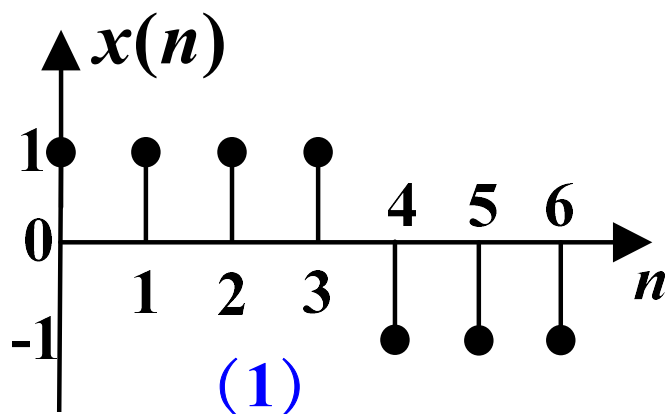
$$\sum_{k=-\infty}^{\infty} \delta(n - k) = ?$$

$$= 1$$



## 2、卷积和的计算

【例1】（北师大2005考研题）写出图示序列的表达式。



【解】：(1) 
$$x(n) = [u(n) - u(n-4)] - [u(n-4) - u(n-7)]$$
$$= u(n) - 2u(n-4) + u(n-7)$$

(2) 
$$x(n) = (6-n)[u(n-1) - u(n-6)]$$

## 2、卷积和的计算

例：（国防科技大学2006考研题）：试求下列序列的卷积和

$$x_1(n) = 2^n u(n-1), x_2(n) = 3^n u(n+1)$$

解：（1）方法一：按定义（略）

（2）方法二：按性质

$$x_1(t) * x_2(t) = [2^n u(n-1)] * [3^n u(n+1)]$$

$$= [2 \cdot 2^{n-1} u(n-1)] * [3^{-1} \cdot 3^{n+1} u(n+1)]$$

$$= \frac{2}{3} [2^n u(n)] * [3^n u(n)] \quad \leftarrow x(n) * \delta(n-k) = x(n-k)$$

$$= \frac{2}{3} (3^{n+1} - 2^{n+1}) u(n) \quad \leftarrow [r_1^n u(n)] * [r_2^n u(n)] = [(r_1^{n+1} - r_2^{n+1}) / (r_1 - r_2)] u(n), \quad r_1 \neq r_2$$

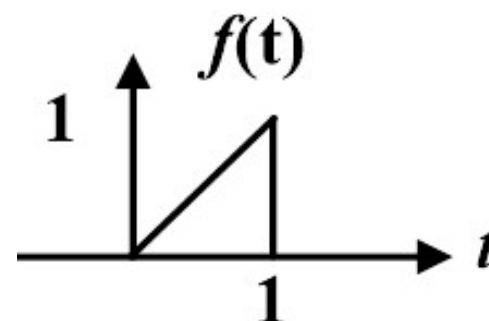
### 3、信号的积分与微分运算

【例2.2.1】：求  $f(t) = \begin{cases} t, & t \in [0,1) \\ 0, & \text{else} \end{cases}$  一阶微分后的信号？

【解】：由图可知， $t < 0$  和  $t > 1$  时， $f(t)$  恒等于零，在这些区域导数为0，在  $0 < t < 1$  区间上， $f(t)$  的导数为1。

$$g(t) = \begin{cases} 1, & t \in (0,1) \\ 0, & \text{else} \end{cases}$$

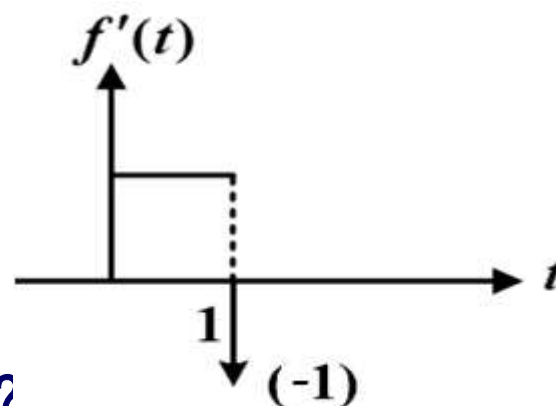
冲激强度： $f(1^+) - f(1^-) = 0 - 1 = -1$



$$\therefore f'(t) = g(t) + [-\delta(t-1)]$$

$$= g(t) - \delta(t-1)$$

$$\text{或} = u(t) - u(t-1) - \delta(t-1)$$



【思考】：直接写  $f(t)$  的表达式再求导？

## 4、信号的展缩、翻转、平移

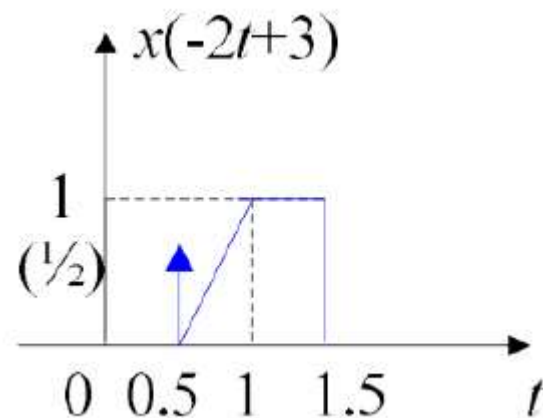
例2：已知  $x(3-2t)$  的波形图如下所示，画出  $x(t)$  的波形图。

【解】

$$x(3-2t) = x_1(3-2t) + \frac{1}{2}\delta(t-0.5)$$

$$\text{令 } 3-2t=u, \text{ 则 } t = -\frac{1}{2}u + \frac{3}{2},$$

$$x(u) = x_1(u) + \frac{1}{2}\delta\left(-\frac{1}{2}u + 1\right) = x_1(u) + \delta(u-2)$$



## 4、信号的展缩、翻转、平移

【例3】 已知  $f(1-2t) = 2\delta(t-1)$  求  $f(t)$

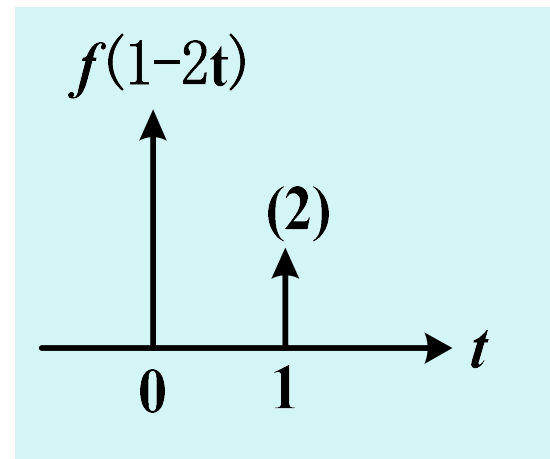
【解】：

$$1-2t = t' \quad \rightarrow \quad t = \frac{1-t'}{2}$$

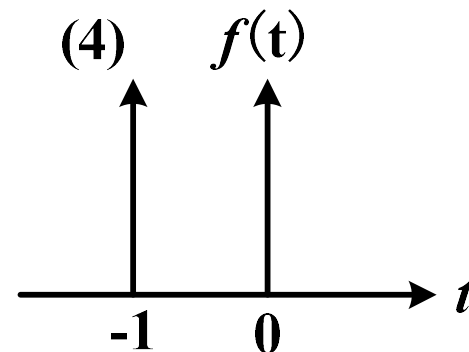
$$f(t') = 2\delta\left(\frac{1-t'}{2} - 1\right) = 2\delta\left(-\frac{t'}{2} - \frac{1}{2}\right)$$

即  $f(t) = 2\delta\left(-\frac{t}{2} - \frac{1}{2}\right)$

$$= 2 \frac{1}{\left|-\frac{1}{2}\right|} \delta(t+1) = 4\delta(t+1)$$



$$\delta(at+b) = \frac{1}{|a|} \delta\left(t + \frac{b}{a}\right)$$



信号的  
时域分  
析总结

信号的分类

- 确定性信号/随机信号
- 连续时间信号/离散时间信号
- 周期信号/非周期信号
- 功率信号/能量信号

常用信号及其基本特性

- 复指数信号（连续/离散）
- 冲击信号和单位样值信号
- 单位阶跃信号（连续/离散）

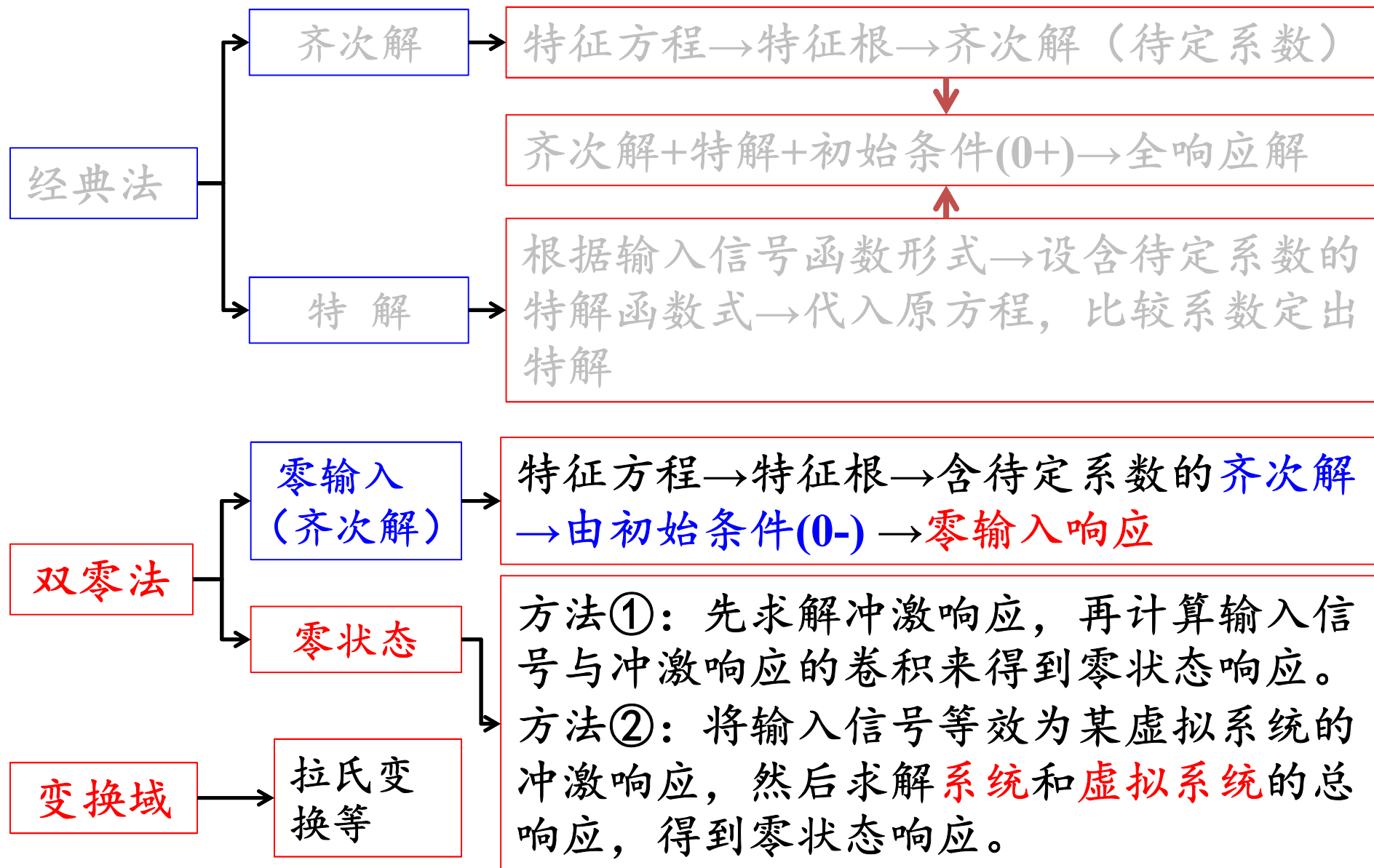
信号的时域运算

- 信号和、信号乘积
- 信号微积分运算
- 信号求和与差分
- 信号展缩/翻转/平移
- 信号分解

卷积积分和卷积和

- 卷积积分/卷积和定义
- 卷积积分/卷积和的性质
- 卷积积分/卷积和的求解

# 第三章 系统的时域分析



# 1、连续时间LTI系统模型的建立及求解

## 微分方程的列写

电阻  $i_R(t) = \frac{1}{R} v(t)$

电感  $i_L(t) = \frac{1}{L} \int_{-\infty}^t v(\tau) d\tau$

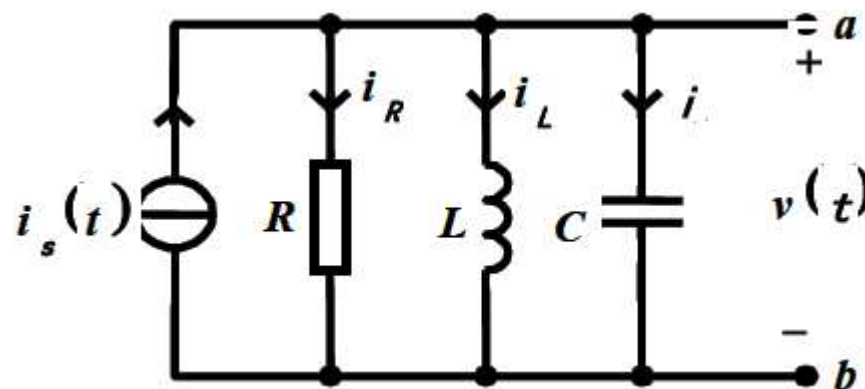
电容  $i_C(t) = C \frac{dv(t)}{dt}$

根据KCL  $i_R(t) + i_L(t) + i_C(t) = i_S(t)$

代入元件伏安关系，并化简有

$$C \frac{d^2 v(t)}{dt^2} + \frac{1}{R} \frac{dv(t)}{dt} + \frac{1}{L} v(t) = \frac{di_S(t)}{dt}$$

RCL并联电路系统的二阶微分方程。



■ 换路期间电容两端的电压和流过电感中的电流不会发生突变，故

$$u_C(0^-) = u_C(0^+), \quad i_L(0^-) = i_L(0^+)$$



# 1、连续时间LTI系统模型的建立及求解

## 4) 冲激响应表——高阶系统的冲激响应（有重根）

重根冲激响应的表达式：

$$\frac{1}{(p-a)^n} \delta(t) = \frac{t^{n-1}}{(n-1)!} e^{at} u(t)$$

例：2.6.5：系统方程如下，求其冲激响应。

$$(p+1)^3 (p+2) y(t) = (4p^3 + 16p^2 + 23p + 13) f(t)$$

解：

$$H(p) = \frac{4p^3 + 16p^2 + 23p + 13}{(p+1)^3 (p+2)} = \frac{2}{(p+1)^3} + \frac{1}{(p+1)^2} + \frac{3}{p+1} + \frac{1}{p+2}$$

故有：

$$\begin{aligned} h(t) &= H(p) \delta(t) = \frac{2}{(p+1)^3} \delta(t) + \frac{1}{(p+1)^2} \delta(t) + \frac{3}{p+1} \delta(t) + \frac{1}{p+2} \delta(t) \\ &= t^2 e^{-t} u(t) + t e^{-t} u(t) + 3e^{-t} u(t) + e^{-2t} u(t) \end{aligned}$$

部分分式展开方法请参阅附录一。

# 1、连续时间LTI系统模型的建立及求解

## 4) 冲激响应表——高阶系统的冲激响应（有复根）

$$h(t) = H(p)\delta(t) = \frac{N(p)}{D(p)}\delta(t) = \frac{b_m p^m + b_{m-1} p^{m-1} + \cdots + b_1 p + b_0}{p^n + a_{n-1} p^{n-1} + \cdots + a_1 p + a_0} \delta(t)$$

如果遇到冲激响应如果只能化简到：

$$\begin{aligned} h(t) &= \frac{a_1 p + b_1}{(p-a)^2 + b^2} \delta(t) + \sum_{i=1}^{n-2} \frac{c_i}{p - \lambda_i} \delta(t) \\ &= \frac{a_1(p-a)}{(p-a)^2 + b^2} \delta(t) + \frac{a_1 a + b_1}{b} \frac{b}{(p-a)^2 + b^2} \delta(t) + \sum_{i=1}^{n-2} \frac{c_i}{p - \lambda_i} \delta(t) \end{aligned}$$

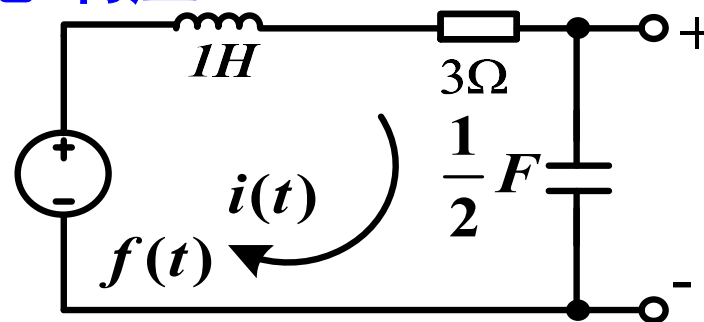
可以记住并使用下式来计算前面两项的响应。

$$\begin{cases} h_1(t) = \frac{b}{(p-a)^2 + b^2} \delta(t) = e^{at} \sin(bt) u(t) \\ h_2(t) = \frac{p-a}{(p-a)^2 + b^2} \delta(t) = e^{at} \cos(bt) u(t) \end{cases}$$

# 1、连续时间LTI系统模型的建立及求解

系统全响应 = 零输入响应 + 零状态响应

例1 已知如图示系统，试求输入为  $f(t)=10e^{-3t}u(t)$ ，初始状态为  $i(0^-)=0$ ， $u_c(0^-)=5$  的响应。



解：1)先求零输入响应：①根据KCR和KVL列写微分方程

$$p^2 i(t) + 3pi(t) + 2i(t) = pf(t)$$

②列特征方程，求特征根  $\lambda^2 + 3\lambda + 2 = 0 \rightarrow \lambda_1 = -1, \lambda_2 = -2$

③齐次解：  $i_{zi}(t) = k_1 e^{-t} u(t) + k_2 e^{-2t} u(t)$

④确定  $k_1, k_2$  初始条件，需知道  $i(0^-)$  和  $i'(0^-)$ 。由KVL

$$Ri(0^-) + Li'(0^-) + u_c(0^-) = 0 \rightarrow i'(0^-) = \frac{1}{L} [-Ri(0^-) - u_c(0^-)] = -5$$

# 1、连续时间LTI系统模型的建立及求解

## 1、系统全响应 = 零输入响应 + 零状态响应

⑤将 $i(0^-)$ 和 $i'(0^-)$ 带入齐次解： $i_{zi}(t) = k_1 e^{-t} u(t) + k_2 e^{-2t} u(t)$

可得零输入响应为： $i_{zi}(t) = -5e^{-t} u(t) + 5e^{-2t} u(t)$

$$i(t) = i_{zi}(t) + i_{zs}(t)$$

2)求冲激响应：将 $f(t)=\delta(t)$ 带入  $p^2 i(t) + 3pi(t) + 2i(t) = pf(t)$  可得

$$h(t) = \frac{p}{p^2 + 3p + 2} \delta(t) = \frac{2}{p + 2} \delta(t) - \frac{1}{p + 1} \delta(t) = (2e^{-2t} - e^{-t}) u(t)$$

3)零状态响应为： $i_{zs}(t) = f(t) * h(t) = (-5e^{-t} + 20e^{-2t} - 15e^{-3t}) u(t)$

4)全响应为：

$$i(t) = i_{zi}(t) + i_{zs}(t) = \underbrace{-5e^{-t} + 5e^{-2t}}_{\text{零输入响应}} \underbrace{-5e^{-t} + 20e^{-2t} - 15e^{-3t}}_{\text{零状态响应}}$$

# 1、连续时间LTI系统模型的建立及求解

系统全响应 = 自然响应 + 强迫响应

$$y(t) = \underbrace{\underbrace{-5e^{-t} + 5e^{-2t}}_{\text{零输入响应}} \underbrace{-5e^{-t} + 20e^{-2t}}_{\text{零状态响应}}}_{\text{自然响应 } y_n(t)} \underbrace{-15e^{-3t}}_{\text{强迫响应 } y_\phi(t)} \quad t \geq 0$$

零输入响应 = 一部分自然响应

零状态响应 = 另一部分自然响应 + 强迫响应

注意：系统全响应中，零输入响应和零状态响应共同作用，有可能会产生系统齐次解中不存在的特解，也有可能抵消掉一些自然响应项。

## 2、离散时间LTI系统的求解

### 零输入响应的初始条件：

- $n$  阶连续时间系统初始条件：**0-时刻** $y_{zi}(t)$ 的 $0 \sim n-1$ 阶导数
- $N$  阶离散时间系统初始条件：**连续 $N$ 个时刻** $y_{zi}(n)$ 的样点值

(注意：P83 例3.5.1之后一段话)

如果是 $N$ 个时刻的初始条件，要注意给定的初始条件是 $y_{zi}(\cdot)$ 还是 $y(\cdot)$ ！

- $n < 0$  时,  $y(n) = y_{zi}(n)$   $y_{zi}(-1) = y(-1)$ 、 $y_{zi}(-2) = y(-2)$ ...
- $n \geq 0$  时,  $y(n) = y_{zi}(n) + y_{zs}(n)$  !  $y_{zi}(0) \neq y(0)$ 、 $y_{zi}(1) \neq y(1)$ ...

一般的，待定系数可由初始态 $y_{zi}(-1)$ 、 $y_{zi}(-2)$ 、...、 $y_{zi}(-N)$ 来确定。

## 2、离散时间LTI系统的求解

**【例1】** 某因果系统的差分方程为  $y(n)-4y(n-1)+3y(n-2)=x(n)$ 。初始条件为  $y(-1)=0$ ,  $y(-2)=1/2$ ,  $x(n)=2^n u(n)$ , 求系统的零输入响应  $y_{zi}(n)$

**【解】：**

①列特征方程，求特征根

$$D(\lambda) = \lambda^2 - 4\lambda + 3 = 0 \quad \rightarrow \lambda_1 = 1, \quad \lambda_2 = 3$$

②零输入响应的齐次解模式：

$$y_{zi}(n) = c_1(1)^n + c_2(3)^n$$

③由初始条件求待定系数。此处  $y(-1)=y_{zi}(-1)$  和  $y(-2)=y_{zi}(-2)$  与输入无关，可直接带入差分方程

$$\begin{aligned} y_{zi}(-1) &= y(-1) = c_1 + (3)^{-1}c_2 = 0 \\ y_{zi}(-2) &= y(-2) = c_1 + (3)^{-2}c_2 = 1/2 \end{aligned} \quad \Rightarrow \quad \begin{cases} c_1 = 3/4 \\ c_2 = -9/4 \end{cases}$$

④零输入响应为：

$$y_{zi}(n) = \frac{3}{4} - \frac{9}{4}(3)^n, \quad n \geq 0$$

## 2、离散时间LTI系统的求解

【例1】某因果系统的差分方程为  $y(n)-4y(n-1)+3y(n-2)=x(n)$ 。初始条件为  $y(0)=-0.5$ ,  $y(1)=0$ ,  $x(n)=2^n u(n)$ , 求系统的零输入响应  $y_{zi}(n)$

【解】：

①列特征方程，求特征根

$$D(\lambda) = \lambda^2 - 4\lambda + 3 = 0 \rightarrow \lambda_1 = 1, \lambda_2 = 3$$

②零输入响应为待定系数的齐次解：

$$y_{zi}(n) = c_1(1)^n + c_2(3)^n$$

③由初始条件求待定系数，此处  $y(0) = y_{zi}(0) + y_{zs}(0)$   
 $y(1) = y_{zi}(1) + y_{zs}(1)$

$$\begin{cases} y(1) - 4y(0) + 3y(-1) = x(1) = 2 \rightarrow y(-1) = y_{zi}(-1) = 0 \\ y(0) - 4y(-1) + 3y(-2) = x(0) = 1 \rightarrow y(-2) = y_{zi}(-2) = 1/2 \end{cases}$$

④零输入响应为：

$$y_{zi}(n) = \frac{3}{4} - \frac{9}{4}(3)^n, \quad n \geq 0$$



---

## 几类常见的题目（系统时域分析）

第一类题目：系统线性/非线性、时变/时不变性的判定

第二类题目：单位冲激响应 $h(t)$ /单位样值响应 $h(n)$

第三类题目：关于响应的求解（零输入/零状态法）、响应模式的分析

# 第四章 连续时间信号与系统频域分析



§ 4.1 信号的正交分解



§ 4.2 周期信号的傅里叶展开



§ 4.3 周期信号的频谱分析



§ 4.4 非周期信号傅里叶变换



§ 4.5 连续时间傅里叶变换的性质



§ 4.6 傅里叶反变换



§ 4.7 系统的频域分析



§ 4.8 无失真传输与滤波



§ 4.9 周期信号傅里叶变换和时域抽样定理



# 1、傅里叶级数

## § 4. 2周期信号的傅里叶展开

- 周期信号三角形形式的FS (能算)
- 周期信号指数形式的FS (能算)
- 三角形形式和指数形式傅里叶级数的互相转化 (能算)
- 周期信号的频谱 (能算、会画)

完备正交函数集：(正交性证明，能记住函数集， $\Omega$ 是参数！)

①三角函数集 $\{1, \cos(k\Omega t), \sin(k\Omega t), k=1, 2, \dots\}$ ;

②虚指数函数集 $\{e^{jk\Omega t}, k=0, \pm 1, \pm 2, \dots\}$ 。

三角形  
形式的FS

$$f(t) = a_0 + \sum_{k=1}^{\infty} (a_k \cos k\Omega t + b_k \sin k\Omega t)$$

$$f(t) = c_0 + \sum_{k=1}^{\infty} c_k \cos(k\Omega t + \varphi_k)$$

单边谱

$$f(t) = \sum_{k=-\infty}^{\infty} F_k e^{jk\Omega t}$$

$$f(t) = \sum_{k=-\infty}^{\infty} |F_k| e^{j\varphi_k} e^{jk\Omega t}$$

双边谱

指数形  
式的FS

# 1、傅里叶级数

求解周期信号频谱的方法：

(1) 如果 $f(t)$ 为正余弦之和的形式：

第一步：直接与三角形式的FS对照，得到单边谱；

第二步：由单边谱得出双边谱。

(2) 如果 $f(t)$ 为一般形式：

根据FS系数的求解公式计算得到

实信号单边谱与双边谱的关系：

(1) 幅度谱：偶对称，直流相同，其余减半；

(2) 相位谱：奇对称

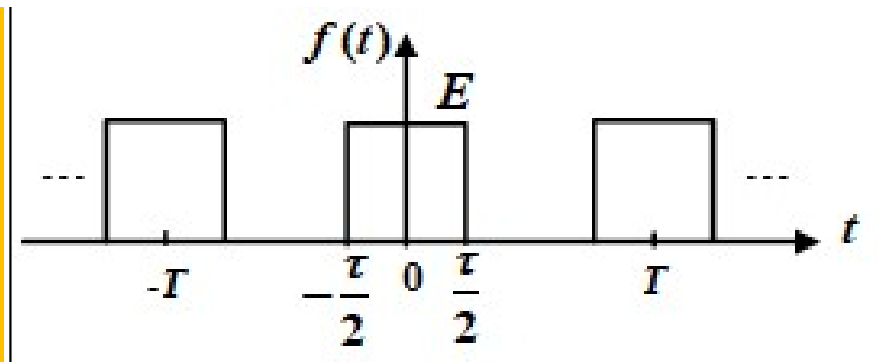
# 1、傅里叶级数

---

## 几类具有对称特性的波形

- **奇信号：** 周期信号 $f(t)$ 关于 $t=0$ 反对称， 即有
$$f(t) = -f(-t)$$
- **偶信号：** 周期信号 $f(t)$ 关于 $t=0$ 对称， 即有
$$f(t) = f(-t)$$
- **奇谐信号：** 波形移动 $T/2$ 后与原信号关于时间轴对称， 即有
$$f(t) = -f(t \pm T/2)$$
- **偶谐信号：** 波形移动 $T/2$ 后与原信号重合， 即有
$$f(t) = f(t \pm T/2)$$

例4.2.1 求右图所示信号的三角形式和虚指数形式的傅里叶级数展开，并画出频谱



解：(2) 展开为指数形式的傅里叶级数

①由图可知 $f(t)$ 周期为 $T$ ，所以基波角频率 $\Omega=2\pi/T$ ，周期内的表达式为：

$$f(t) = \begin{cases} E, & |t| < \tau/2 \\ 0, & \tau/2 < |t| < T/2 \end{cases}$$

②指数形式的傅里叶级数： $f(t) = \sum_{k=-\infty}^{\infty} F_k e^{jk\Omega t}$

$$F_k = \frac{1}{T} \int_{t_0}^{t_0+T} f(t) e^{-jk\Omega t} dt$$

③确定系数（定义或三角转换）

$$F_k = \frac{1}{T} \int_{-\tau/2}^{\tau/2} E e^{-jk\Omega t} dt$$

$$= \frac{E\tau}{T} \text{Sa}\left(\frac{k\Omega\tau}{2}\right)$$

$$= |F_k| e^{j\varphi_k}$$

$\varphi_k$  奇函数！

$$|F_k| = \frac{E\tau}{T} \left| \text{Sa}\left(\frac{k\Omega\tau}{2}\right) \right|$$

$$\varphi_k = \begin{cases} 0, & F_k > 0 \\ \pi, & F_k < 0, k > 0 \\ -\pi, & F_k < 0, k < 0 \end{cases}$$

# 1、傅里叶级数

$$P = \frac{1}{T} \int_{-T/2}^{T/2} |f(t)|^2 dt = \sum_{k=-\infty}^{\infty} |F_k|^2 = c_0^2 + \sum_{k=1}^{\infty} \left(\frac{c_k}{\sqrt{2}}\right)^2$$

——功率有限信号的巴什瓦等式

周期信号的平均功率等于直流分量及各次谐波分量功率之和。

$|F_k|^2 \sim k\Omega$ 关系——称为周期信号的双边功率谱,  $k = 0, \pm 1, \pm 2, \dots$

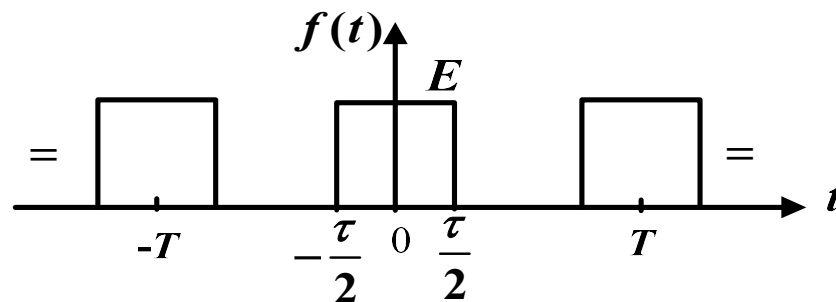
$(c_k / \sqrt{2})^2 \sim k\Omega$ 关系——称为周期信号的单边功率谱,  $k = 0, 1, 2, \dots$

## 功率谱的意义:

➤ 反映了周期信号功率按各次谐波分量的振幅大小分配给各个分量（正比关系）。

➤ 根据功率谱, 可以确定信号有效频带宽度。

例4.3.1 设图所示的周期矩形脉冲信号中 $E=1, T=1/4s, \tau=1/20s$ , 求频带 $[0, 2\pi/\tau]$ 内各谐波功率之和占信号总平均功率的比例。



解: 
$$P = \frac{1}{T} \int_{-T/2}^{T/2} |f(t)|^2 dt = 4 \int_{-1/40}^{1/40} 1 dt = 0.2$$

$$\Omega = 2\pi/T = 8\pi, (0, 2\pi/\tau) = [0, 40\pi]$$

$$F_k = \frac{E\tau}{T} \text{Sa}\left(\frac{k\Omega\tau}{2}\right) = \frac{1}{5} \text{Sa}\left(\frac{k\pi}{5}\right)$$

$$\begin{aligned} P' &= |F_0|^2 + 2[|F_1|^2 + |F_2|^2 + |F_3|^2 + |F_4|^2] \\ &= \left(\frac{1}{5}\right)^2 + 2 \cdot \left(\frac{1}{5}\right)^2 \left[ \text{Sa}^2\left(\frac{\pi}{5}\right) + \text{Sa}^2\left(\frac{2\pi}{5}\right) + \text{Sa}^2\left(\frac{3\pi}{5}\right) + \text{Sa}^2\left(\frac{4\pi}{5}\right) \right] = 0.1806 \end{aligned}$$

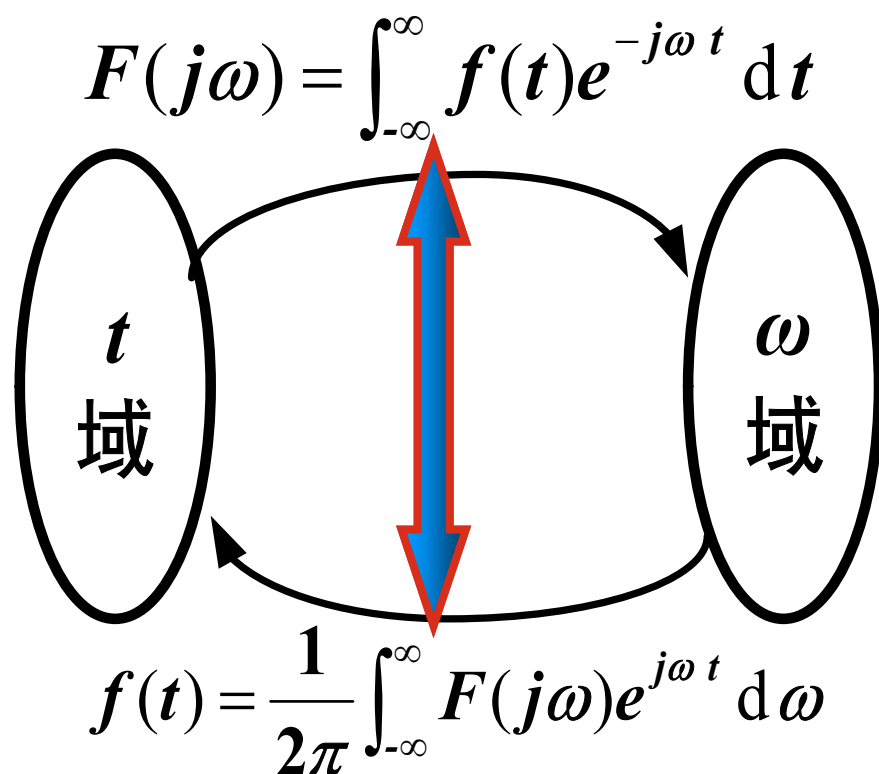
$$\frac{P'}{P} = \frac{0.1806}{0.2} = 90\%$$



## 2、傅里叶变换

### 常用傅里叶变换对（最最常用、最最基础）

#### 傅里叶变换对



$\delta(t)$	$\longleftrightarrow$	$1$
$1$	$\longleftrightarrow$	$2\pi\delta(\omega)$
$u(t)$	$\longleftrightarrow$	$\pi\delta(\omega) + \frac{1}{j\omega}$
$e^{-\alpha t} u(t)$	$\longleftrightarrow$	$\frac{1}{\alpha + j\omega}$
$G_{\tau}(t)$	$\longleftrightarrow$	$\tau \text{Sa}\left(\frac{\omega\tau}{2}\right)$
$\text{sgn}(t)$	$\longleftrightarrow$	$\frac{2}{j\omega}$
$e^{-\alpha t }$	$\longleftrightarrow$	$\frac{2\alpha}{\alpha^2 + \omega^2}$

## 2、傅里叶变换：性质

---

傅里叶变换：
$$F(j\omega) = \int_{-\infty}^{\infty} f(t)e^{-j\omega t} dt = \mathcal{F}[f(t)]$$

傅里叶反变换：
$$f(t) = \frac{1}{2\pi} \int_{-\infty}^{\infty} F(j\omega)e^{j\omega t} d\omega = \mathcal{F}^{-1}[F(j\omega)]$$

- |           |               |
|-----------|---------------|
| 1. 唯一性    | 8. 频移特性       |
| 2. 线性特性   | 9. 时域微分特性     |
| 3. 奇偶特性   | 10. 频域微分特性    |
| 4. 共轭特性   | 11. 时域卷积定理    |
| 5. 对称特性   | 12. 频域卷积定理    |
| 6. 时域展缩特性 | 13. 时域积分定理    |
| 7. 时移特性   | 14. 信号能量与频谱关系 |

## 2、傅里叶变换：性质

### 奇偶虚实性（总结）

时域	频域
偶信号	偶函数
奇信号	奇函数
$f^*(t)$	$F^*(-j\omega)$
$f^*(-t)$	$F^*(j\omega)$
$f(-t)$	$F(-j\omega)$
实信号	实部为偶函数，虚部为奇函数
实偶信号	实偶函数，虚部为0
实奇信号	虚奇函数，实部为0

## 2、傅里叶变换：基本变换对

$$u(t) \leftrightarrow \pi\delta(\omega) + \frac{1}{j\omega}$$

$$\delta(t) \leftrightarrow 1$$

$$\delta(t - t_0) \leftrightarrow e^{-j\omega t_0}$$

$$\delta'(t) \leftrightarrow j\omega$$

$$1 \leftrightarrow 2\pi\delta(\omega)$$

$$t \leftrightarrow j2\pi\delta'(\omega)$$

$$e^{j\omega_0 t} \leftrightarrow 2\pi\delta(\omega - \omega_0)$$

$$G_\tau(t) \leftrightarrow \tau \text{Sa}\left(\frac{\omega\tau}{2}\right)$$

$$\text{Sa}(\omega_c t) \leftrightarrow \frac{\pi}{\omega_c} G_{2\omega_c}(\omega)$$

$$\Lambda_{2\tau}(t) \leftrightarrow \tau \text{Sa}^2\left(\frac{\omega\tau}{2}\right)$$

$$e^{-at} u(t) \leftrightarrow \frac{1}{a + j\omega} \quad a > 0$$

$$e^{-a|t|} \leftrightarrow \frac{2a}{a^2 + \omega^2} \quad a > 0$$

# 基本性质

- ① 时移  $f(t+t_0) = f(t) * \delta(t+t_0) \leftrightarrow F(j\omega)e^{j\omega t_0}$
- ② 频移  $f(t)e^{j\omega_0 t} \leftrightarrow \frac{1}{2\pi} F(j\omega) * [2\pi\delta(\omega - \omega_0)] = F[j(\omega - \omega_0)]$
- ③ 时域微分  $f'(t) = f(t) * \delta'(t) \leftrightarrow F(j\omega) \cdot j\omega$
- ④ 频域微分  $tf(t) \leftrightarrow \frac{1}{2\pi} F(j\omega) * [j2\pi\delta'(\omega)] = jF'(j\omega)$
- ⑤ 时域积分  $\int_{-\infty}^t f(\tau)d\tau = f(t) * u(t) \leftrightarrow \pi F(0)\delta(\omega) + \frac{F(j\omega)}{j\omega}$

**易错公式**

$$t^n f(t) \leftrightarrow j^n \frac{d^n}{d\omega^n} F(j\omega)$$
$$f_1(t) \cdot f_2(t) \leftrightarrow \frac{1}{2\pi} F_1(j\omega) * F_2(j\omega)$$
$$\int_{-\infty}^t f(\tau)d\tau \leftrightarrow \frac{F(j\omega)}{j\omega} + \pi F(0)\delta(\omega)$$
$$f(at+b) \leftrightarrow \frac{1}{|a|} F(j\frac{\omega}{a})e^{j\frac{b}{a}\omega}$$

### 3、傅里叶反变换

例：求 $F(j\omega)$ 的反变换，其中： $F(j\omega) = \frac{\omega^2 - 4j\omega - 5}{\omega^2 - 3j\omega - 2}$

【解】：

1. 唯一性（时频域一一对应）
2. 线性性（齐次和叠加性）：

利用上述两个性质，拆分成熟悉的频域分量之和，然后求每个频域分量的反变换。

$$F(j\omega) = \frac{-\omega^2 + 4j\omega + 5}{-\omega^2 + 3j\omega + 2}$$

$$= \frac{(j\omega)^2 + 4j\omega + 5}{(j\omega)^2 + 3j\omega + 2} = 1 + \frac{-1}{j\omega + 2} + \frac{2}{j\omega + 1}$$

$$f(t) = \delta(t) - e^{-2t}u(t) + 2e^{-t}u(t) \leftrightarrow F(j\omega)$$

$$A = \frac{p+3}{(p+2)(p+1)}(p+2) \Big|_{p=-2} = -1$$
$$B = \frac{p+3}{(p+2)(p+1)}(p+1) \Big|_{p=-1} = 2$$

### 3、傅里叶反变换

例：求 $F(j\omega)$ 的反变换，其中： $F(j\omega) = \frac{1}{(j\omega + 1)(j\omega + 2)^3}$

解：①部分分式展开

$$\begin{aligned} F(j\omega) &= \frac{1}{(j\omega + 1)(j\omega + 2)^3} \\ &= \frac{k_1}{j\omega + 1} + \frac{a_0}{(j\omega + 2)^3} + \frac{a_1}{(j\omega + 2)^2} + \frac{a_2}{j\omega + 2} \\ &= \frac{1}{j\omega + 1} + \frac{-1}{(j\omega + 2)^3} + \frac{-1}{(j\omega + 2)^2} + \frac{-1}{j\omega + 2} \end{aligned}$$

②求每部分的傅里叶反变换

$$f(t) = e^{-t} - \frac{t^2}{2} e^{-2t} - t e^{-2t} - e^{-2t} \leftrightarrow F(j\omega)$$

### 3、傅里叶反变换

例：求 $F(j\omega)$ 的反变换，其中： $F(j\omega) = \frac{2 + j\omega}{(j\omega)^2 + 2j\omega + 5}$

解：方法一：展开为复数

$$\begin{aligned} F(j\omega) &= \frac{2 + j\omega}{(j\omega + 1 + 2j)(j\omega + 1 - 2j)} \\ &= \frac{2 + j}{4} \frac{1}{j\omega + 1 + 2j} + \frac{2 - j}{4} \frac{1}{j\omega + 1 - 2j} \end{aligned}$$

$$f(t) = \dots = \left( \cos 2te^{-t} + \frac{1}{2}e^{-t} \sin 2t \right) u(t)$$

方法二：记公式

$$\cos \omega_0 t e^{-at} u(t) \leftrightarrow \frac{a + j\omega}{(a + j\omega)^2 + \omega_0^2}, a > 0$$

$$\sin \omega_0 t e^{-at} u(t) \leftrightarrow \frac{\omega_0}{(a + j\omega)^2 + \omega_0^2}, a > 0$$



### 3、傅里叶反变换

---

例：已知  $F(j\omega) = Sa(\omega)e^{-j\omega}$ ，求  $f(t)$

解：

①由傅里叶变换对：

$$G_{\tau}(t) \leftrightarrow \tau Sa(\omega\tau/2)$$

②配平参数，令  $\tau=2$ ，可得：

$$G_2(t) \leftrightarrow 2Sa(\omega) \Rightarrow \frac{G_2(t)}{2} \leftrightarrow Sa(\omega)$$

③由时移特性可得：

$$f(t) = \frac{G_2(t-1)}{2}$$

## 4、周期信号的FT

从周期延拓的角度:

$$F_T(j\omega) = F(j\omega) \cdot \Omega \delta_\Omega(\omega) = \sum_{k=-\infty}^{\infty} \Omega F(jk\Omega) \delta(\omega - k\Omega)$$

从FS级数展开角度:

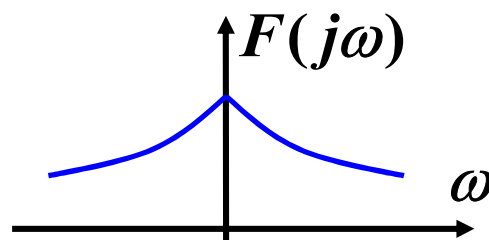
$$F_T(j\omega) = \sum_{k=-\infty}^{\infty} 2\pi F_k \delta(\omega - k\Omega)$$

$$\Omega F(jk\Omega) = 2\pi F_k$$

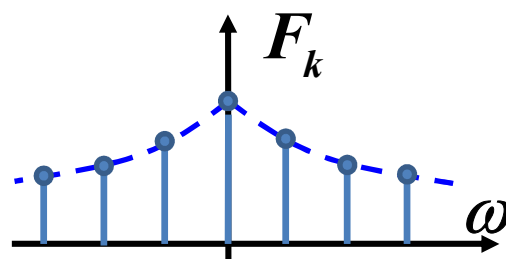
$$F_k = \frac{F(jk\Omega)}{T}$$

$$= \left. \frac{F(j\omega)}{T} \right|_{\omega=k\Omega}$$

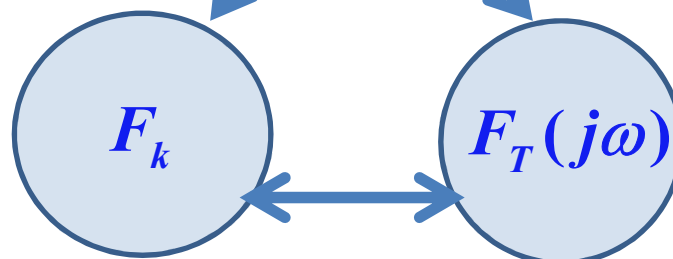
$$F(j\omega) = \lim_{T \rightarrow \infty} T F_k$$



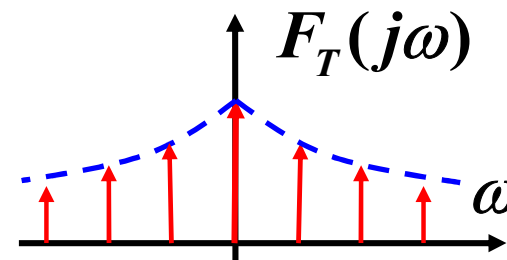
$F(j\omega)$  主周期信号的FT



周期信号的FS



周期信号的FT

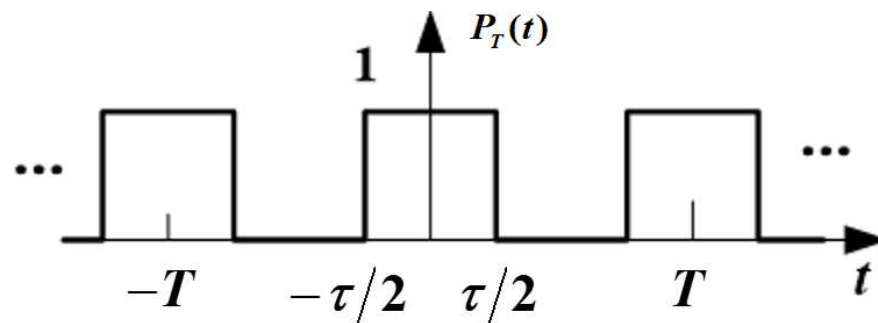


## 4、周期信号的FT

例2：求周期矩形脉冲信号  $P_T(t) = \sum_{n=-\infty}^{\infty} G_{\tau}(t-nT)$ ,  $\tau < T$  的频谱

①傅里叶级数展开

$$P_T(t) = \sum_{n=-\infty}^{\infty} F_k e^{jk\Omega t}, \quad \Omega = \frac{2\pi}{T}$$

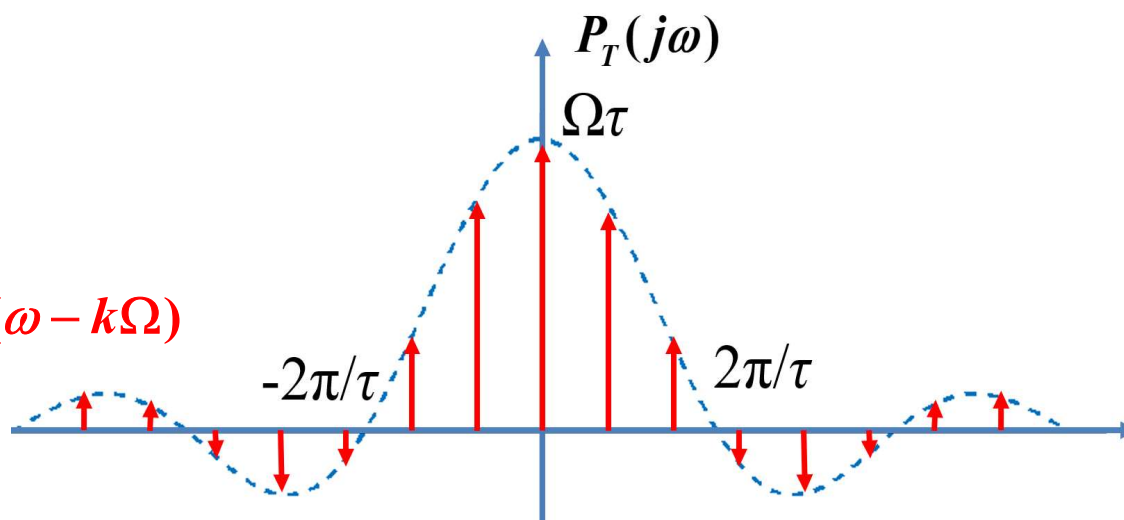


②求谐波分量的系数

$$F_k = \frac{1}{T} \int_{-\frac{T}{2}}^{\frac{T}{2}} P_T(t) e^{-jk\Omega t} dt = \frac{1}{T} \int_{-\frac{\tau}{2}}^{\frac{\tau}{2}} e^{-jk\Omega t} dt = \frac{\tau}{T} \text{Sa}\left(\frac{k\Omega\tau}{2}\right) = \frac{\Omega\tau}{2\pi} \text{Sa}\left(\frac{k\Omega\tau}{2}\right)$$

③对展开式做傅里叶变换

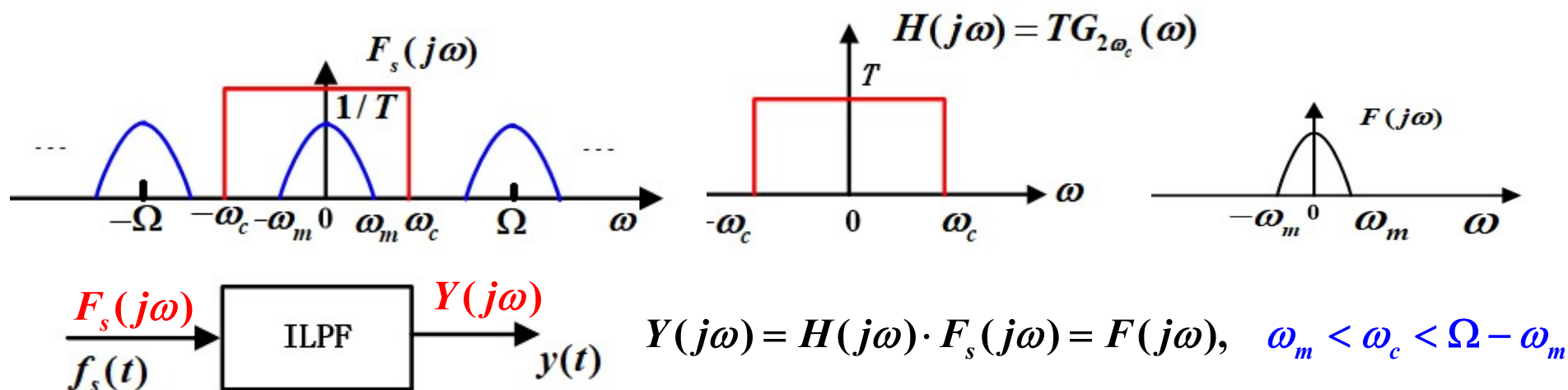
$$\begin{aligned} P_T(j\omega) &= \sum_{k=-\infty}^{\infty} F_k \cdot 2\pi\delta(\omega - k\Omega) \\ &= \sum_{k=-\infty}^{\infty} \Omega\tau \cdot \text{Sa}\left(\frac{k\Omega\tau}{2}\right) \cdot \delta(\omega - k\Omega) \end{aligned}$$



## 5、抽样定理

### 1. 冲激串抽样

$$F_s(j\omega) = \frac{1}{2\pi} F(j\omega) * \Omega \delta_\Omega(\omega) = \cdots + \frac{1}{T} F(j\omega + j\Omega) + \frac{1}{T} F(j\omega) + \frac{1}{T} F(j\omega - j\Omega) + \cdots$$



- $\omega_m$  信号最高频率 (固定)
- $\Omega$  或  $\omega_s$  冲激串基波频率 (可设计)
- $\omega_c$  理想低通滤波器截止频率 (可设计)

如果满足:  $\omega_m < \omega_c < \Omega - \omega_m$ , 那么经过“抽样/滤波”后的抽样信号包含了原连续时间信号的全部信息。

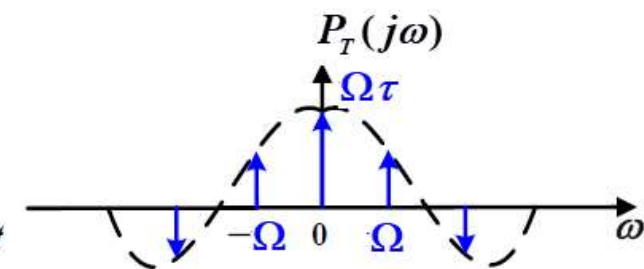
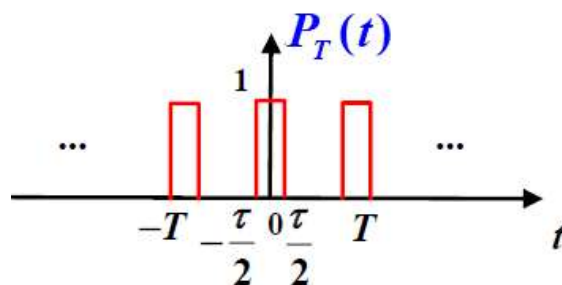
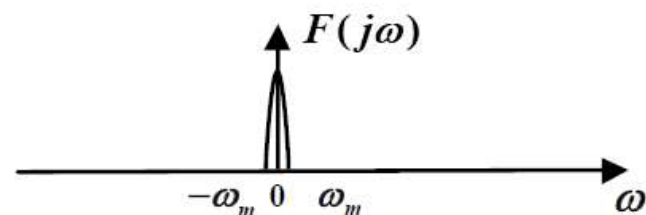
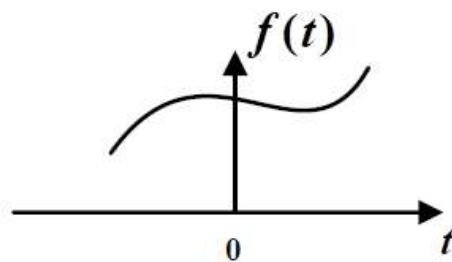
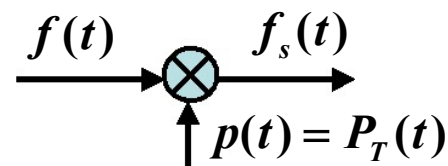
# 5、抽样定理

## 2.脉冲串抽样

抽样信号为脉冲串  $P_T(t)$  (开关函数)

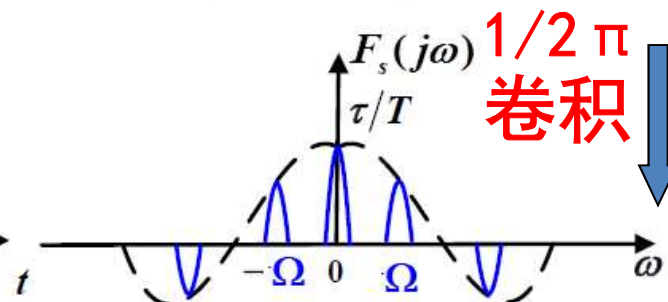
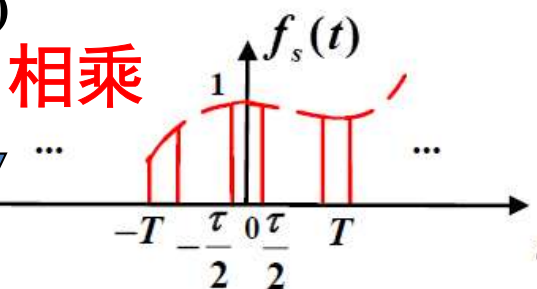
$$f_s(t) = f(t) \cdot P_T(t)$$

$$= f(t) \sum_{n=-\infty}^{\infty} G_{\tau}(t - nT)$$



$$F_s(j\omega) = \frac{1}{2\pi} F(j\omega) * P_T(j\omega)$$

$$= \sum_{k=-\infty}^{\infty} \frac{\tau}{T} \text{sa}\left(\frac{k\Omega\tau}{2}\right) F(j\omega - jk\Omega)$$



相乘

$1/2\pi$   
卷积

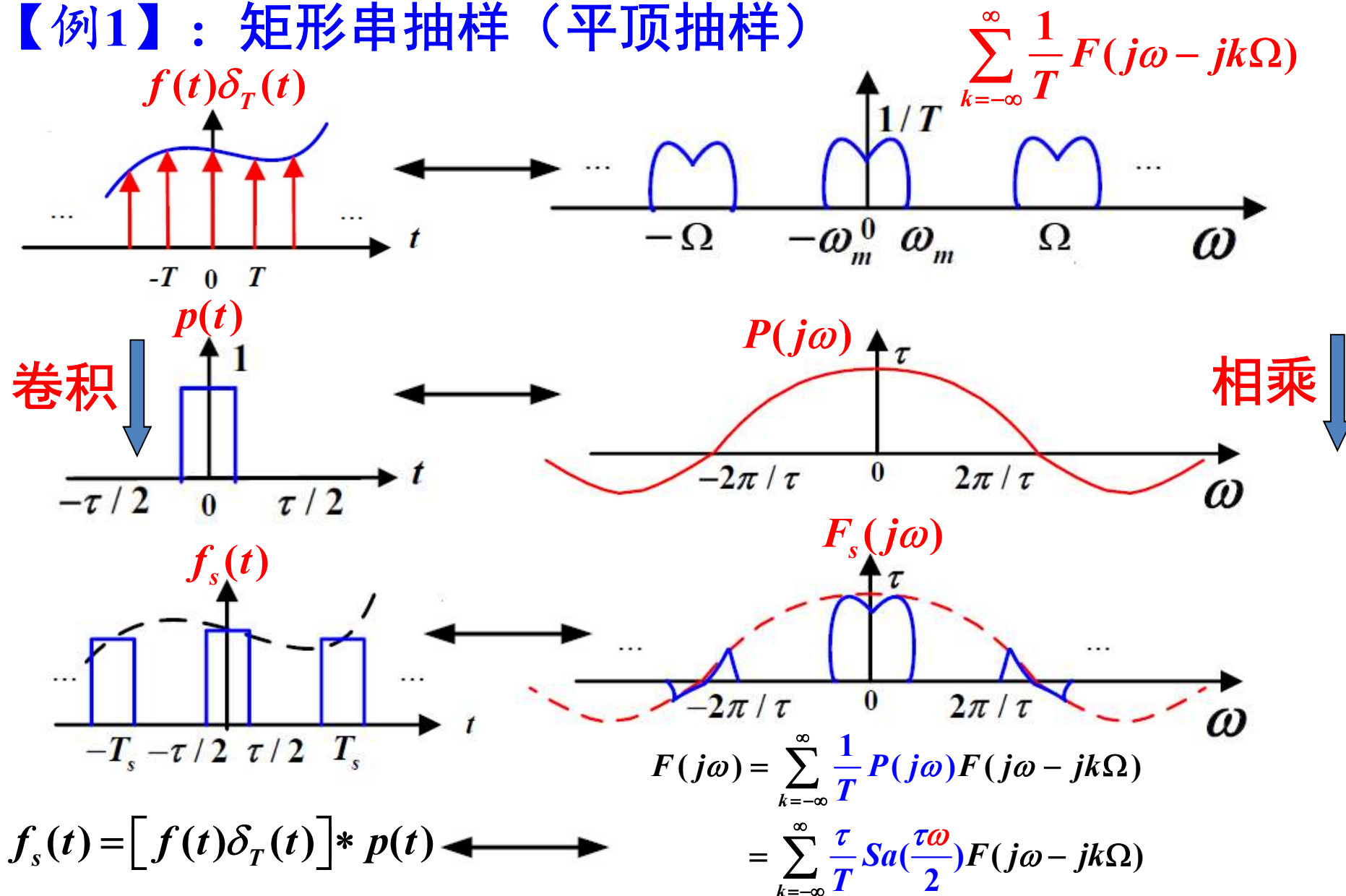
$$= \sum_{k=-\infty}^{\infty} F_k F(j\omega - jk\Omega)$$

冲激串抽样 (理想抽样) : 频谱等幅周期延拓 ( $1/T$ )

脉冲串抽样 (曲顶抽样) : 频谱衰减周期延拓 ( $F_k$ )

## 5、抽样定理

### 【例1】：矩形串抽样（平顶抽样）



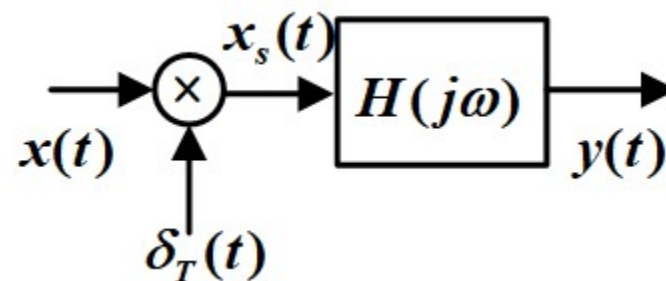
## 5、抽样定理

【例2】：一个理想抽样系统如图， $f_s=4\text{Hz}$ ，对信号抽样后理想低通滤波器  $H(j\omega)=0.25G_{8\pi}(\omega)$ 。今有两信号  $x_1(t)=\cos(2\pi t)$  和  $x_2(t)=\cos(5\pi t)$ ，经过抽样和还原后有没有失真？为什么？

解：①将信号转换到频域：

$$x_1(t) = \cos(2\pi t) \leftrightarrow \pi\delta(\omega + 2\pi) + \pi\delta(\omega - 2\pi)$$

$$x_2(t) = \cos(5\pi t) \leftrightarrow \pi\delta(\omega + 5\pi) + \pi\delta(\omega - 5\pi)$$

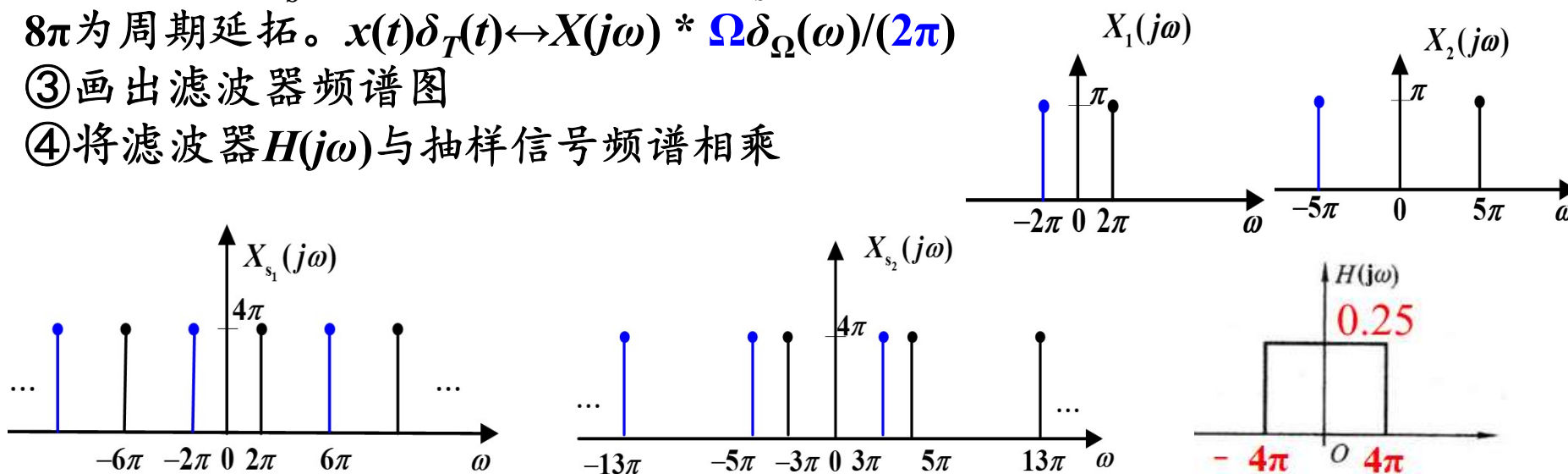


②求抽样后 $x_s(t)$ 的频谱。易知 $\Omega=2\pi f_s=8\pi$ ，抽样后频谱以

$8\pi$ 为周期延拓。 $x(t)\delta_T(t) \leftrightarrow X(j\omega) * \Omega\delta_\Omega(\omega)/(2\pi)$

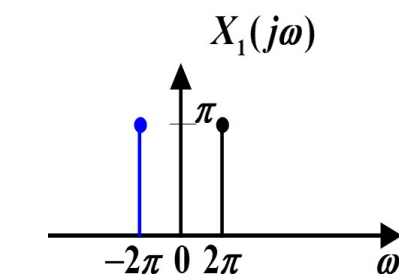
③画出滤波器频谱图

④将滤波器 $H(j\omega)$ 与抽样信号频谱相乘

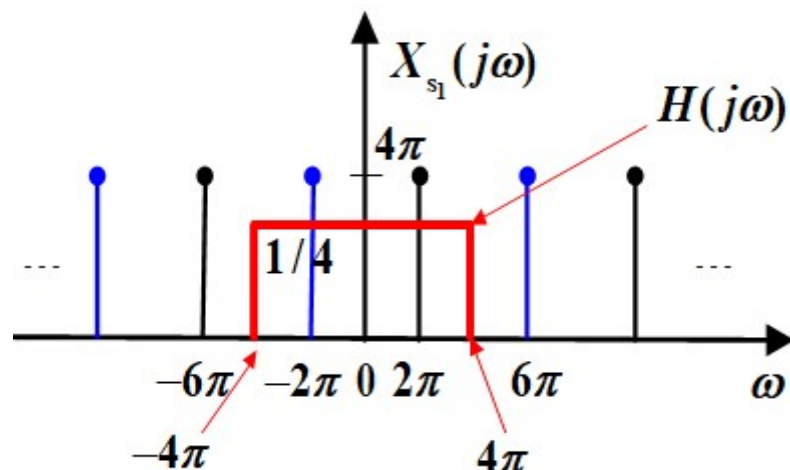
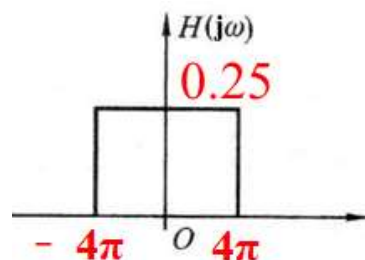
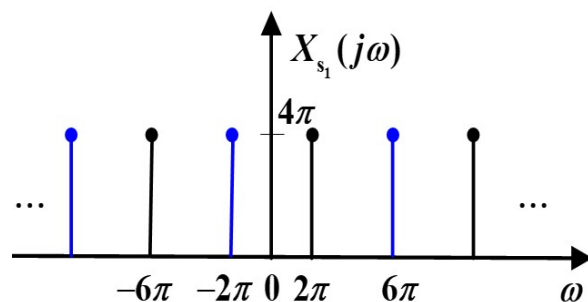


## 5、抽样定理

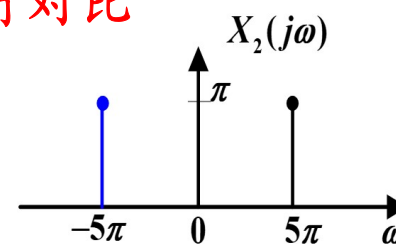
⑤将滤波器输出与原信号进行对比



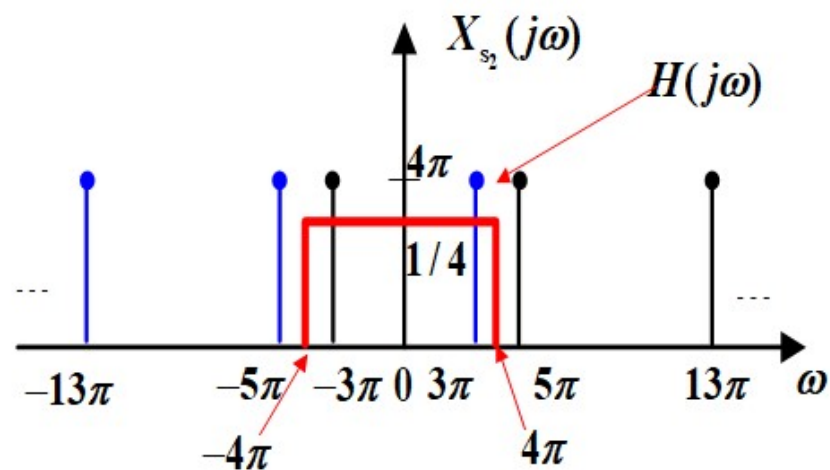
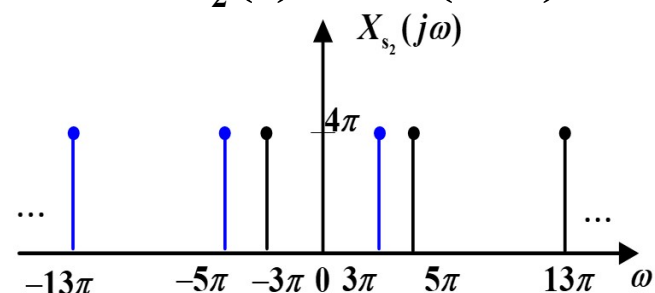
$$x_1(t) = \cos(2\pi t)$$



$$y_1(t) = \cos(2\pi t)$$



$$x_2(t) = \cos(5\pi t)$$



$$y_2(t) = \cos(3\pi t)$$



## 5、抽样定理

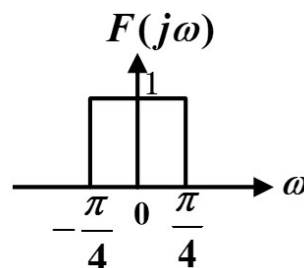
【例3】：一连续时间系统如图示，输入信号 $f(t)$ 被抽样后，通过一个单位冲激响应为 $h(t)$ 的系统，输出 $y(t)$ 。已知 $f(t) \leftrightarrow F(j\omega) = G_{\pi/2}(\omega)$ ， $h(t) = 2G_1(t)$ 。 $\delta_T(t)$ 为单位强度周期脉冲串，且 $T=2$ 。

(1) 请画出 $\omega \in (-2\pi, 2\pi)$ 区间上 $y(t)$ 的频谱

(2) 给出从 $y(t)$ 恢复 $f(t)$ 的方案

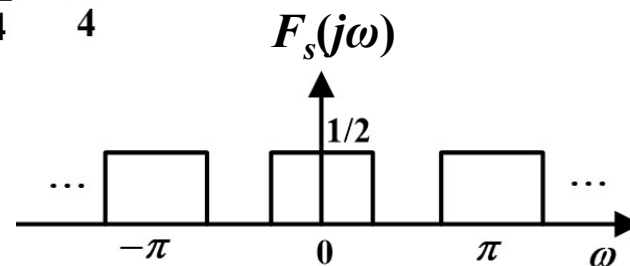
【解】：

① 画出信号频谱 $F(j\omega)$

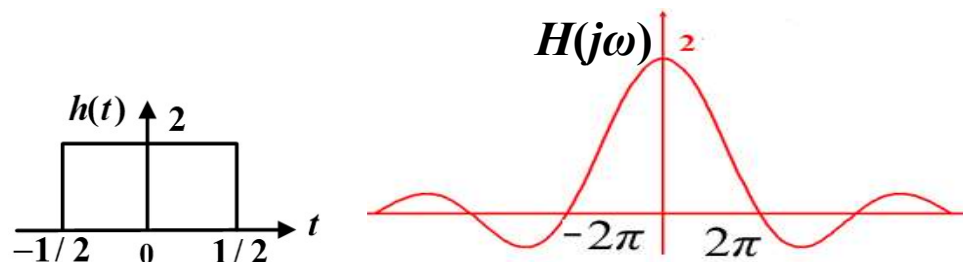


② 求抽样信号的频谱 ( $\Omega = 2\pi/T = \pi$ )

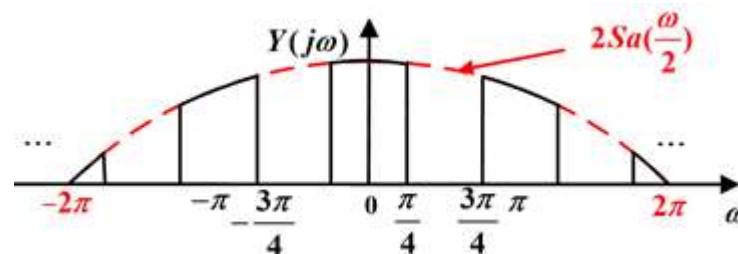
$$F_s(j\omega) = \frac{1}{2\pi} F(j\omega) * \Omega \delta_\Omega(\omega) = \frac{1}{T} F(j\omega) * \delta_\pi(\omega)$$



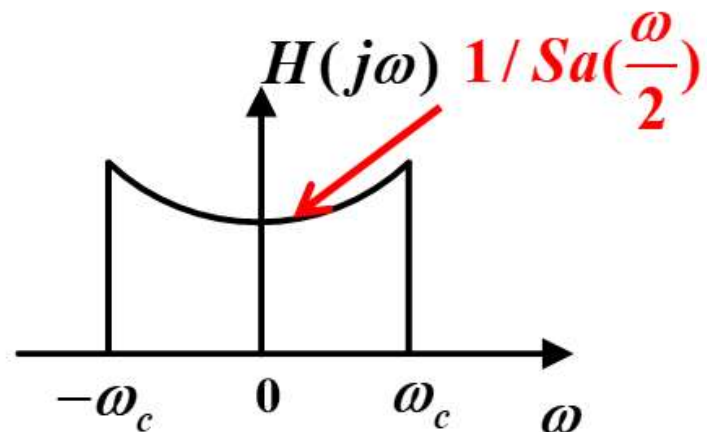
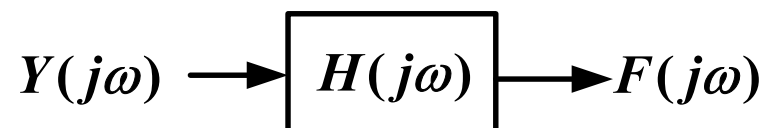
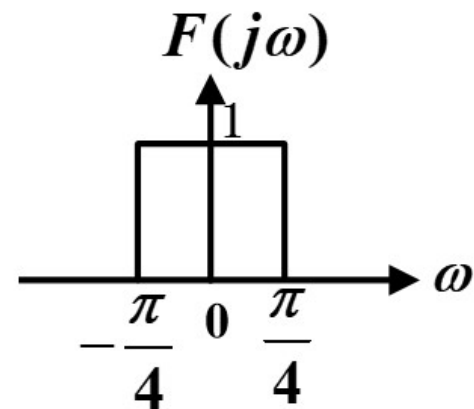
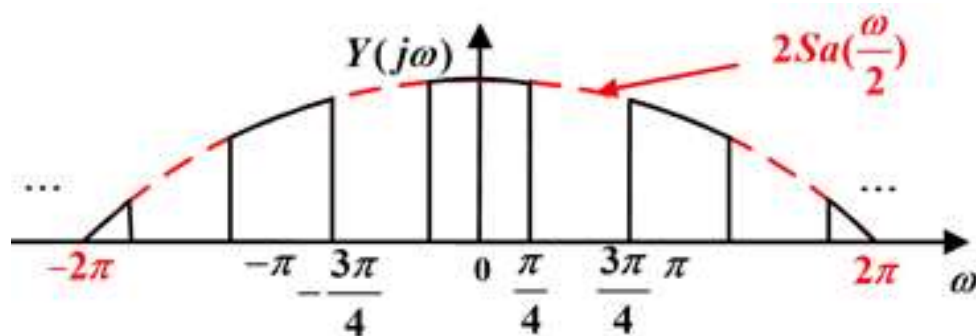
③ 画出滤波器 $H(j\omega)$ 频谱图



④ 画出 $Y(j\omega) = F_s(j\omega)H(j\omega)$



## 5、抽样定理

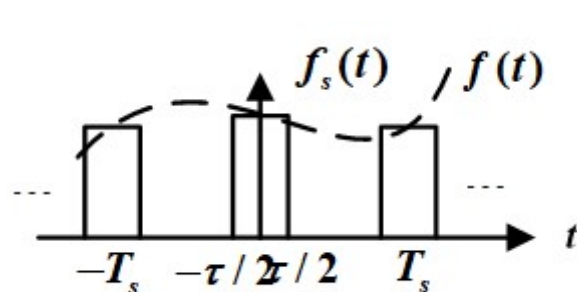


## 5、抽样定理

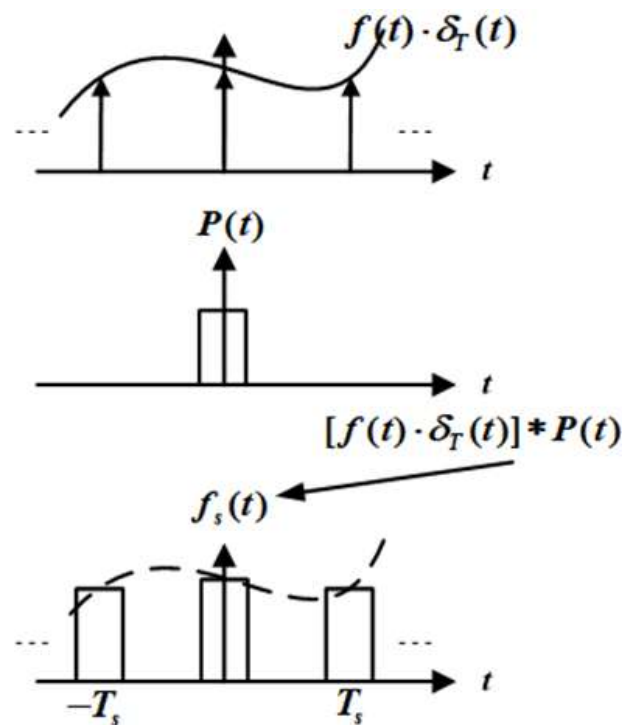
【例4】：已知连续信号 $f(t)$ 的频谱为 $F(j\omega)$ ，非零频带范围为 $(-\omega_m, \omega_m)$ ，若 $f(t)$ 被宽度为 $\tau$ 的矩形信号以周期 $T_s$ 平顶抽样，抽样后信号 $f_s(t)$ 的波形如下如图所示。

1.求 $f_s(t)$ 的频谱

2.为了从 $f_s(t)$ 无失真地恢复 $f(t)$ ，问需要满足那些条件？如何恢复？



脉冲串抽样信号



## 5、抽样定理

### 三种抽样方法

1. 信号要求：设  $F(j\omega) = 0, |\omega| > \omega_m$  即带限信号  $\omega \in (-\omega_m, \omega_m)$

2. 抽样现象：

$\Omega > 2\omega_m \rightarrow \Omega - \omega_m > \omega_m \rightarrow F(j\omega)$  以  $\Omega$  为周期延拓, 不会发生重叠

$\Omega < 2\omega_m \rightarrow \Omega - \omega_m < \omega_m \rightarrow F(j\omega)$  以  $\Omega$  为周期延拓, 会发生重叠

3. 信号滤波重建：(注：不一定局限低通，也可能是带通)

恢复  $f(t)$ , 前提:  $\Omega > 2\omega_m$  且  $\omega_m < \omega_c < \Omega - \omega_m$

冲激串抽样 (理想抽样)  $H(j\omega) = TG_{2\omega_c}(\omega)$

脉冲串抽样 (曲顶抽样)  $H(j\omega) = \frac{T}{\tau} G_{2\omega_c}(\omega)$

脉冲串抽样 (平顶抽样)  $H(j\omega) = \frac{T}{\tau \text{Sa}(\frac{\omega\tau}{2})} G_{2\omega_c}(\omega)$

保证  $Y(j\omega) = F(j\omega)$

# 第五章 离散时间信号与系统频域分析

---



§ 5.1 引言

§ 5.2 离散时间傅里叶级数 (DFS)

§ 5.3 离散时间傅里叶变换 (DTFT)

§ 5.4 离散时间系统频域分析

§ 4.5 几种傅里叶变换的关系

§ 4.6 离散傅里叶变换 (DFT)

# 1、离散傅里叶级数

## 离散周期信号的傅里叶级数（DFS）

DFS变换对  $\tilde{x}(n) \xleftrightarrow{\text{DFS}} \tilde{X}(k)$

数字基频（角频率）： $\Omega_0 = \frac{2\pi}{N}$

DFS正变换  $\tilde{X}(k) = \sum_{n=0}^{N-1} \tilde{x}(n) e^{-jk\Omega_0 n}$

DFS反变换  $\tilde{x}(n) = \frac{1}{N} \sum_{k=0}^{N-1} \tilde{X}(k) e^{jk\Omega_0 n}$

或 
$$\begin{cases} \tilde{X}(k) = \sum_{n=0}^{N-1} \tilde{x}(n) e^{-j2\pi kn/N}, -\infty < k < \infty \\ \tilde{x}(n) = \frac{1}{N} \sum_{k=0}^{N-1} \tilde{X}(k) e^{j2\pi kn/N}, -\infty < n < \infty \end{cases}$$

- (1) 离散傅里叶级数变换对中， $\tilde{x}(n)$  和  $\tilde{X}(k)$  都以  $N$  为周期。
- (2)  $\tilde{x}(n)$  表示第  $n$  个采样点信号的时域值  
(连续时间关于采样间隔  $\Delta T$  的归一化)
- (3)  $\tilde{X}(k)$  表示离散周期序列的  $k$  倍谐波，即  $2\pi k/N = k\Omega_0 = k\omega_0 / f_s$   
(数字域角频率关于采样频率  $f_s$  的归一化)
- (4) 由于周期性上述求和区间可在任意连续  $N$  个值上进行。

# 温故知新，上讲回顾

公式  $\Omega_0 = \frac{\omega_0}{f_s}$  的理解

$\Omega_0$ —数字角频率，单位：rad

$\omega_0$ —模拟角频率，单位：rad/s

$f_s$ —抽样频率，单位：Herz，或1/s

【简单推导】

模拟信号  $x_a(t) = A \sin(\omega_0 t + \phi)$

数字信号  $x(n) = x_a(nT_s) = A \sin(n\omega_0 T_s + \phi) = A \sin(n\Omega_0 + \phi)$

数字角频率和模拟角频率间的桥梁  $\Omega_0 = \omega_0 T_s = \frac{\omega_0}{f_s}$

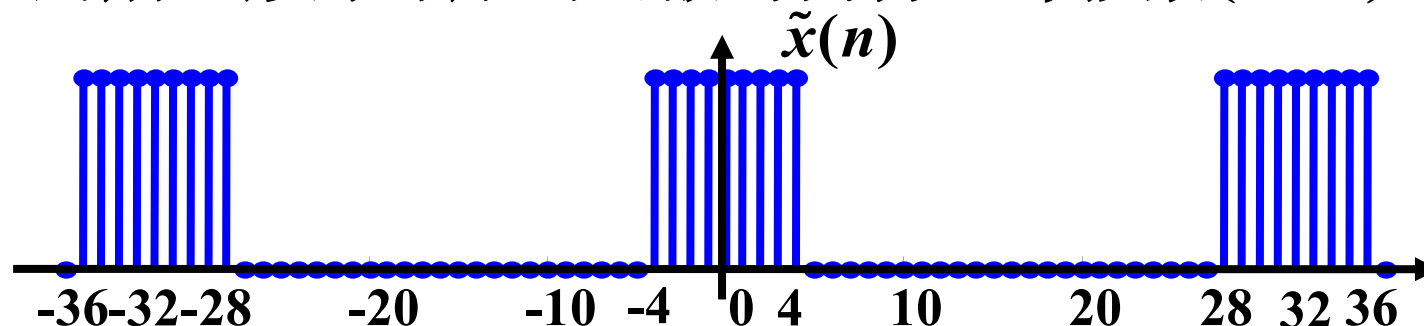
数字角频率 = 模拟角频率对抽样频率的归一化

模拟角频率 = 数字角频率 × 抽样频率

# 1、离散傅里叶级数

例

周期矩形脉冲序列离散时间傅里叶级数(DFS)。

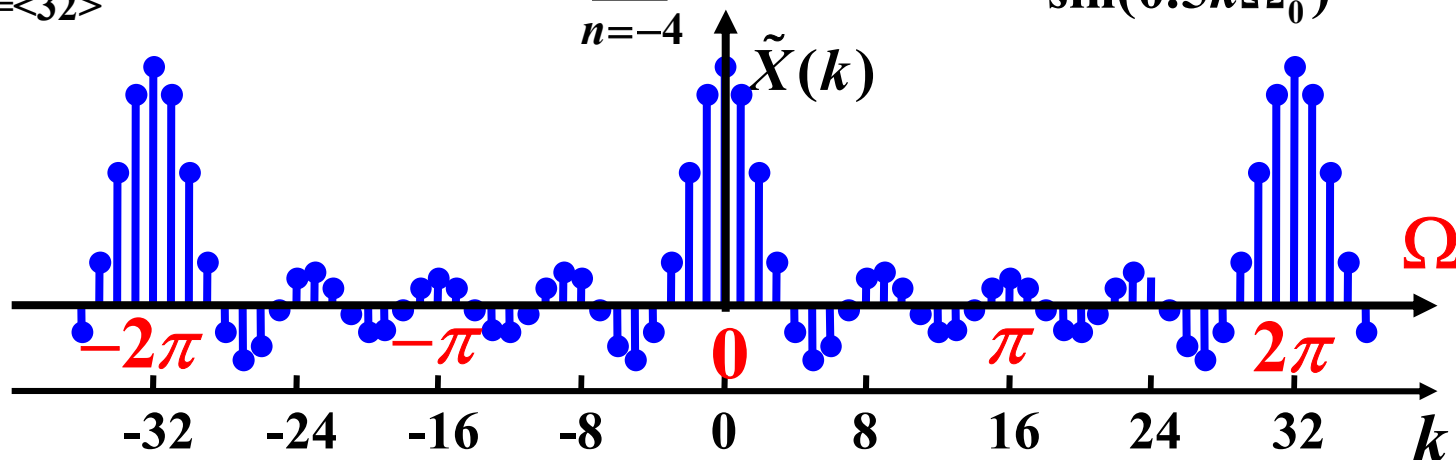


解:

$$N = 32$$

$$\Omega_0 = 2\pi / 32 = \pi / 16$$

$$\tilde{X}(k) = \sum_{n=\langle 32 \rangle} \tilde{x}(n) e^{-jk(\pi/16)n} = \sum_{n=-4}^4 e^{-jk(\pi/16)n} = \frac{\sin(4.5k\Omega_0)}{\sin(0.5k\Omega_0)}$$



结论：时域周期离散性  $\longleftrightarrow$  频域离散周期性



# 1、离散傅里叶级数

## DTFS与CTFS的比较

	离散时间周期信号的傅里叶级数 DFS	连续时间周期信号的傅里叶级数 CTFS
研究对象	离散时间周期信号 周期: $N$ ; 基频: $\Omega_0 = \frac{2\pi}{N}$	连续时间周期信号 周期: $T$ ; 基频: $\omega_0 = \frac{2\pi}{T}$
正交信号集	$\{e^{jk\Omega_0 n}, k = 0, 1, \dots, N-1\}$ 只有 $N$ 项	$\{e^{jk\omega_0 t}, k = 0, \pm 1, \pm 2, \dots\}$ 无穷多项
级数展开式	$\tilde{x}(n) = \frac{1}{N} \sum_{k=0}^{N-1} \tilde{X}(k) e^{jk\Omega_0 n}$	$x(t) = \sum_{k=-\infty}^{\infty} X_k e^{jk\omega_0 t}$
系数 (频谱) 求解公式	$\tilde{X}(k) = \sum_{n=0}^{N-1} \tilde{x}(n) e^{-jk\Omega_0 n}$ $\tilde{X}(k+N) = \tilde{X}(k)$	$X_k = \frac{1}{T} \int_{t_0}^{t_0+T} x(t) e^{-jk\omega_0 t} dt$

- 重点1: 掌握离散时间周期信号频谱的特点——离散性、谐波性、周期性。
- 重点2: 会求常用离散时间周期信号的DFS (正余弦序列、周期矩形脉冲等)

# 1、离散傅里叶级数

## 离散周期信号的傅里叶级数 (DFS)

$$\tilde{x}(n) \xleftrightarrow{\text{DFS}} \tilde{X}(k)$$

$$\left\{ \begin{array}{l} \tilde{X}(k) = \sum_{n=0}^{N-1} \tilde{x}(n) e^{-jk\Omega_0 n} \quad \text{正变换} \\ \tilde{x}(n) = \frac{1}{N} \sum_{k=0}^{N-1} \tilde{X}(k) e^{jk\Omega_0 n} \quad \text{反变换} \end{array} \right. \quad \left\{ \begin{array}{l} \tilde{X}(k) = \sum_{n=0}^{N-1} \tilde{x}(n) e^{-j2\pi kn/N} \\ \tilde{x}(n) = \frac{1}{N} \sum_{k=0}^{N-1} \tilde{X}(k) e^{j2\pi kn/N} \end{array} \right. \quad \left\{ \begin{array}{l} \tilde{X}(k) = \sum_{n=0}^{N-1} \tilde{x}(n) W_N^{kn} \\ \tilde{x}(n) = \frac{1}{N} \sum_{k=0}^{N-1} \tilde{X}(k) W_N^{-kn} \end{array} \right.$$

定义域： $-\infty < n < \infty$ ， $-\infty < k < \infty$  旋转因子： $W_N = e^{-j2\pi/N} = e^{-j\Omega_0}$

物理含义：

- (1)  $\tilde{x}(n)$  可以表示成有限个复指数序列的线性组合；
- (2)  $\tilde{X}(k)$  表示离散周期序列谐波分量的相对频谱大小
- (3) DFS变换对中， $\tilde{x}(n)$  和  $\tilde{X}(k)$  都以  $N$  为周期  
(如果以  $k\Omega_0$  表示就是以  $2\pi$  为周期)。

由于周期性上述求和区间可在任意连续  $N$  个值上进行

## 2、离散时间傅里叶变换

DTFT变换对  $x(n) \xleftrightarrow{\text{DTFT}} X(\Omega)$

DTFT正变换  $X(\Omega) = \sum_{n=-\infty}^{\infty} x(n)e^{-j\Omega n} \triangleq \text{DTFT}[x(n)]$

DTFT反变换  $x(n) = \frac{1}{2\pi} \int_{2\pi} X(\Omega)e^{j\Omega n} d\Omega \triangleq \text{IDTFT}[X(\Omega)]$

物理含义：

- (1)  $x(n)$ 可以表示成无穷多个复指数序列的线性组合 ( $2\pi$  区间内)
- (2)  $X(\Omega)$ 表示了 $x(n)$ 中各个频率分量的相对大小 (频谱) ；
- (3)  $X(\Omega)$ 是连续的, 并且以 $2\pi$ 为周期。

$\updownarrow$   
时域：非周期

$\updownarrow$   
离散

序列绝对可和是DTFT存在的条件, 即  $\sum_{n=-\infty}^{\infty} |x(n)| < \infty$

## 2、离散时间傅里叶变换

性质名称	表达式
线性	$ax_1(n) + bx_2(n) \leftrightarrow aX_1(\Omega) + bX_2(\Omega)$
共轭特性	$x^*(n) \leftrightarrow X^*(-\Omega)$ 实序列的频谱为共轭对称函数 即幅度谱为偶函数，相位谱为奇函数
时移特性	$x(n - n_0) \leftrightarrow X(\Omega)e^{-j\Omega n_0}$
频移特性	$x(n)e^{j\Omega_0 n} \leftrightarrow X(\Omega - \Omega_0)$
频域微分	$nx(n) \leftrightarrow j \frac{d}{d\Omega} X(\Omega)$
时域翻转	$x(-n) \leftrightarrow X(-\Omega)$
时域卷积	$x_1(n) * x_2(n) \leftrightarrow X_1(\Omega)X_2(\Omega)$

## DTFT的性质

频域卷积

$$x_1(n)x_2(n) \leftrightarrow \frac{1}{2\pi} X_1(\Omega) * X_2(\Omega) \\ = \frac{1}{2\pi} \int_{2\pi} X_1(\theta)X_2(\Omega - \theta)d\theta$$

巴什瓦定理

$$\sum_{n=-\infty}^{\infty} |x(n)|^2 = \frac{1}{2\pi} \int_{2\pi} |X(e^{j\Omega})|^2 d\Omega$$

### 3、离散时间系统的频域分析

离散时间系统的频率响应 $H(\Omega)$ 的求解：

(1) 求单位样值响应  $h(n)$  的DTFT得到；

(2) 可以由输出和输入的DTFT得到  $H(\Omega) = \frac{Y(\Omega)}{X(\Omega)}$

(3) 可以由差分方程直接得到

系统频率响应只取决于系统本身，而与激励无关，与系统内部的初始状态也无关

### 3、离散时间系统的频域分析

例1：某LTIS的起始状态为0，且 $y(n) - a y(n-1) = x(n)$ ，其中 $a$ 为常数，且有 $|a| < 1$ ，求系统频率响应并画出幅频特性。

解：

①对系统差分方程求DTFT可得： $Y(\Omega) - aY(\Omega)e^{-j\Omega} = X(\Omega)$

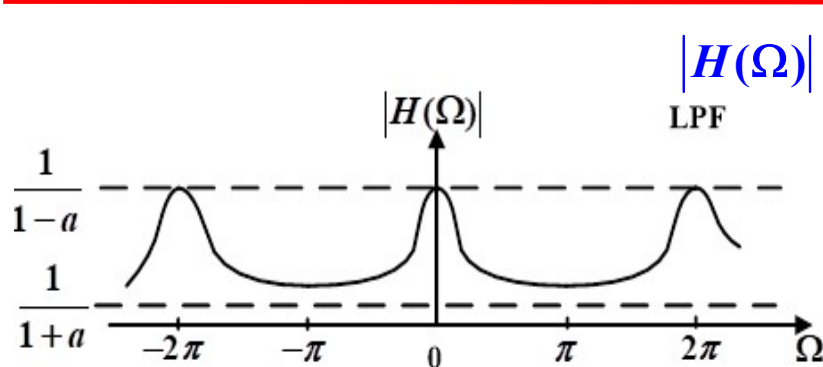
②由系统冲激响应的定义，可得频率响应：

$$H(\Omega) = \frac{Y(\Omega)}{X(\Omega)} = \frac{1}{1 - ae^{-j\Omega}}$$

在Z域分析中，  
求反变换更容易

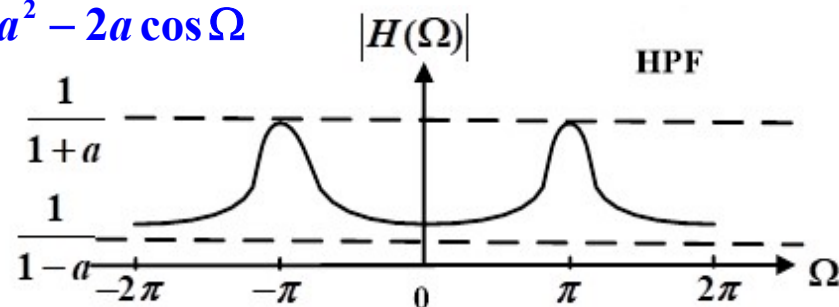
上节课分析  
过其DTFT

$$h(n) = a^n u(n), |a| < 1$$



幅频特性  $0 < a < 1$

$$|H(\Omega)| = \frac{1}{\sqrt{1 + a^2 - 2a \cos \Omega}}$$



幅频特性  $-1 < a < 0$

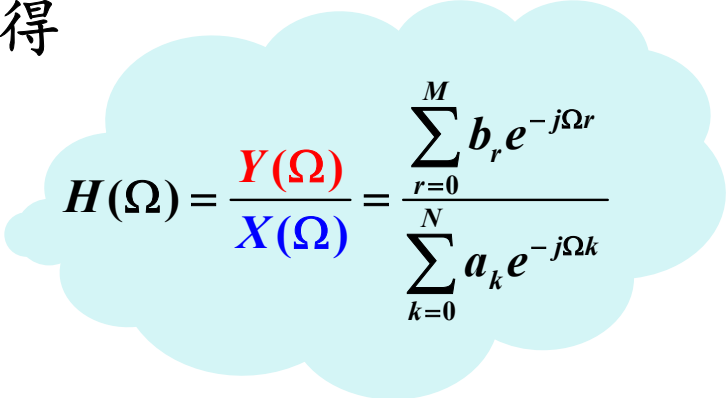
### 3、离散时间系统的频域分析

例2:  $y(n) - \frac{3}{4}y(n-1) + \frac{1}{8}y(n-2) = 2x(n)$  求  $H(\Omega)$  及  $h(n)$ 。


解：对差分方程两端求DTFT，并化简可得

$$\begin{aligned} H(\Omega) &= \frac{2}{1 - \frac{3}{4}e^{-j\Omega} + \frac{1}{8}e^{-j2\Omega}} \\ &= \frac{2}{\left(1 - \frac{1}{2}e^{-j\Omega}\right)\left(1 - \frac{1}{4}e^{-j\Omega}\right)} \\ &= \frac{4}{1 - \frac{1}{2}e^{-j\Omega}} + \frac{-2}{1 - \frac{1}{4}e^{-j\Omega}} \end{aligned}$$

$$h(n) = 4\left(\frac{1}{2}\right)^n u(n) - 2\left(\frac{1}{4}\right)^n u(n)$$


$$H(\Omega) = \frac{Y(\Omega)}{X(\Omega)} = \frac{\sum_{r=0}^M b_r e^{-j\Omega r}}{\sum_{k=0}^N a_k e^{-j\Omega k}}$$

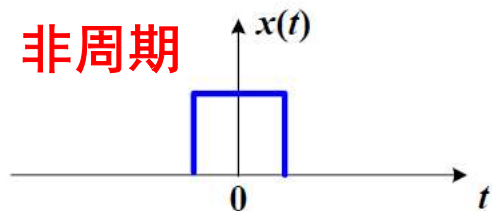
变换对


$$a^n u(n) \leftrightarrow \frac{1}{1 - ae^{-j\Omega}}, |a| < 1$$

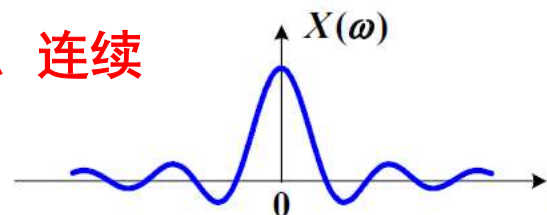


## § 5.4 几种傅里叶变换的关系

连续、非周期



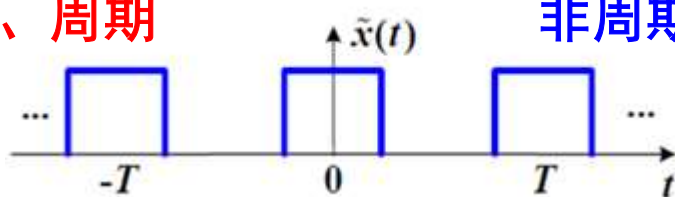
非周期、连续



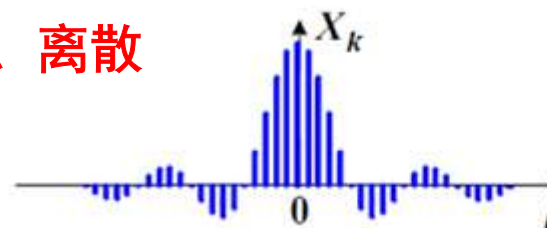
CTFT

$$X(\omega) = \tau \text{Sa}\left(\frac{\omega\tau}{2}\right)$$

连续、周期



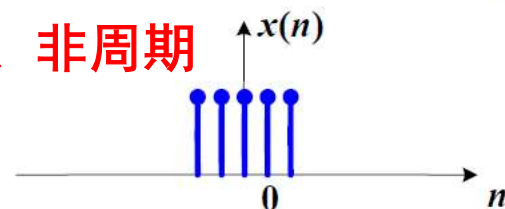
非周期、离散



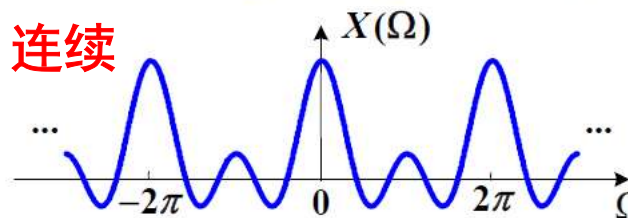
CTFS

$$X_k = \frac{\tau}{T} \text{Sa}\left(\frac{k\omega_0\tau}{2}\right)$$

离散、非周期



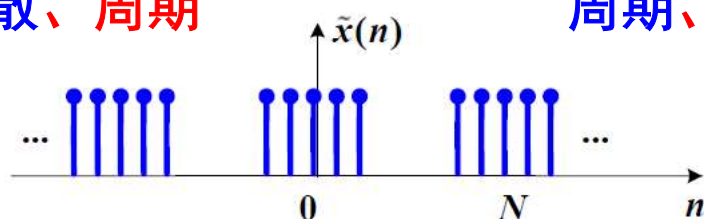
周期、连续



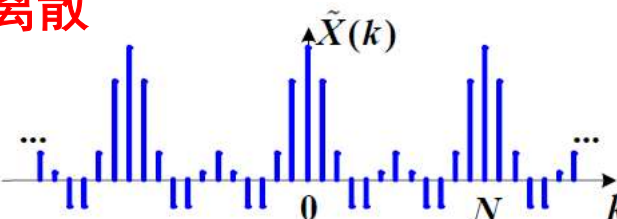
DTFT

$$X(\Omega) = \frac{\sin(N_0\Omega/2)}{\sin(\Omega/2)}$$

离散、周期



周期、离散



DFS

$$\tilde{X}(k) = \frac{\sin\left(\frac{1}{2}k\Omega_0N_0\right)}{\sin\left(\frac{1}{2}k\Omega_0\right)}$$

要点：一个域的离散性，对应另外一个域的周期性



# 第六章 连续时间信号与系统复频域分析



§ 6.1 拉普拉斯变换

§ 6.2 拉普拉斯变换与傅里叶变换的关系

§ 6.3 拉普拉斯变换的性质

§ 6.4 拉普拉斯反变换

§ 6.5 双边拉普拉斯变换

§ 6.6 系统的复频域分析

§ 6.7 系统的极点和零点

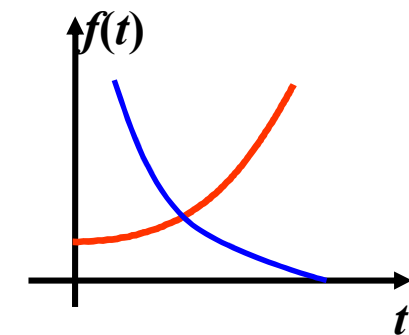
§ 6.8 系统的稳定性

§ 6.9 信号流图和Mason公式

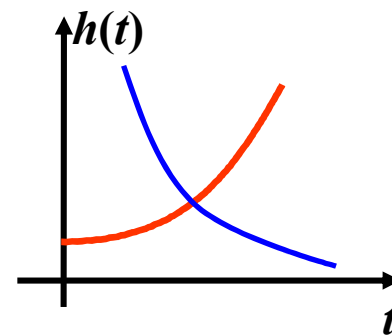
# 温故知新：LT提出的原因

频域分析以正/余弦或虚指数信号 $e^{j\omega t}$ 为基本单元，将信号与系统冲激响应分解为众多不同频率 $\omega$ 的基本单元的加权和。物理意义直观清晰，但也有不足：

- 用定义求 $f(t)$ 的傅里叶变换 $F(j\omega)$ 时，要求 $f(t)$ 绝对可积。（很多有些重要信号，如 $u(t)$ 、 $e^{2t}u(t)$ 不满足FT条件）。
- 难于利用FT分析不稳定系统。
- 零输入响应的频域分析困难。



指数增长信号



指数增长系统

# 1、拉普拉斯变换的收敛域(ROC)

例4 求下列信号的双边拉氏变换。

$$f_1(t) = e^{-3t}u(t) + e^{-2t}u(t)$$

$$f_2(t) = -e^{-3t}u(-t) - e^{-2t}u(-t)$$

$$f_3(t) = e^{-3t}u(t) - e^{-2t}u(-t)$$

$$\text{解: } f_1(t) \longleftrightarrow F_1(s) = \frac{1}{s+3} + \frac{1}{s+2} \quad \text{Re}[s] = \sigma > -2$$

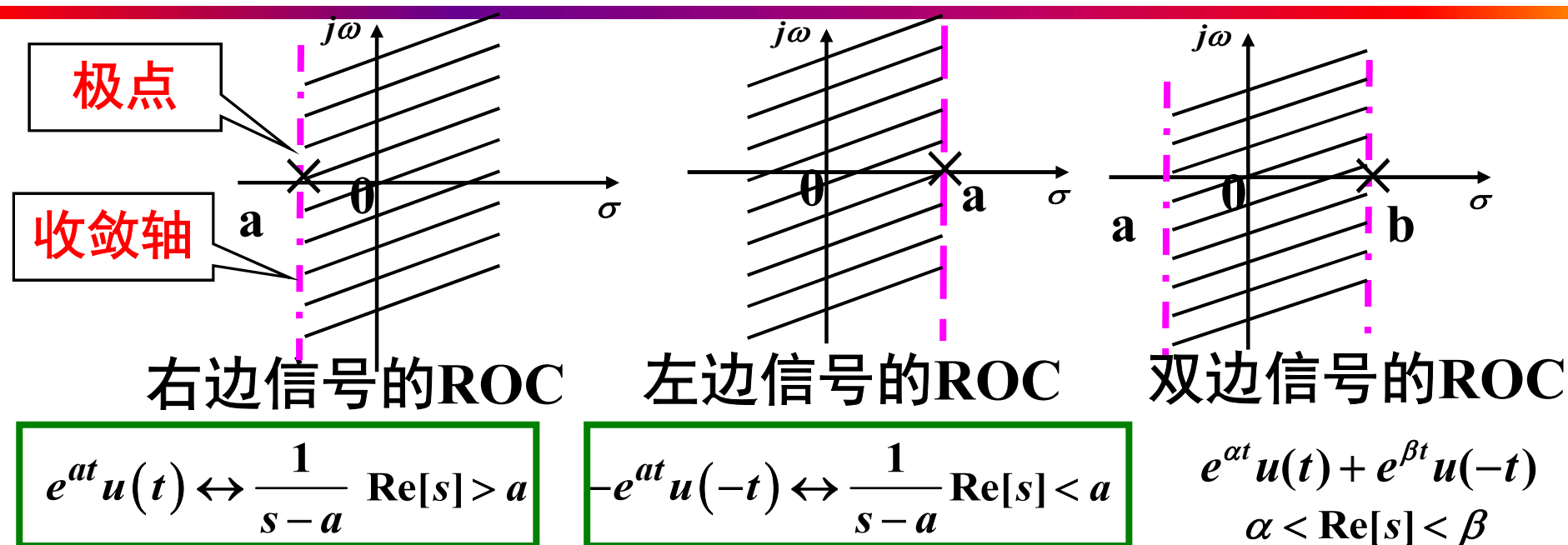
$$f_2(t) \longleftrightarrow F_2(s) = \frac{1}{s+3} + \frac{1}{s+2} \quad \text{Re}[s] = \sigma < -3$$

$$f_3(t) \longleftrightarrow F_3(s) = \frac{1}{s+3} + \frac{1}{s+2} \quad -3 < \sigma < -2$$

象函数相同，但收敛域不同。

双边拉氏变换必须标出收敛域。

# 1、拉普拉斯变换的收敛域(ROC)



## ROC小结

右边信号的收敛域是右边收敛；  
左边信号的收敛域是左边收敛；  
双边信号的收敛域是带状收敛。  
有限信号的收敛域是全平面  
收敛域不包含极点。

## 2、常见信号的单边拉普拉斯变换

### 1、复指数信号 $f(t) = e^{s_0 t} u(t)$

$$e^{s_0 t} u(t) \leftrightarrow \frac{1}{s - s_0}, \operatorname{Re}[s] > \operatorname{Re}[s_0]$$

$$e^{at} u(t) \leftrightarrow \frac{1}{s - a} \quad \operatorname{Re}[s] > a$$

$$e^{j\omega_0 t} u(t) \leftrightarrow \frac{1}{s - j\omega_0} \quad \operatorname{Re}[s] > 0$$

$$\cos(\omega_0 t) u(t) \leftrightarrow \frac{s}{s^2 + \omega_0^2}, \operatorname{Re}[s] > 0$$

$$\sin(\omega_0 t) u(t) \leftrightarrow \frac{\omega_0}{s^2 + \omega_0^2}, \operatorname{Re}[s] > 0$$

$$u(t) \leftrightarrow \frac{1}{s} \quad \operatorname{Re}[s] > 0$$

$$t^n u(t) \leftrightarrow \frac{n!}{s^{n+1}}$$

## § 6.2 拉普拉斯变换与傅里叶变换的关系

(1) 当 $F(s)$ 收敛域包含虚轴时，拉氏变换和傅氏变换都存在

$$F(j\omega) = F(s)|_{s=j\omega}$$

如单边指数衰减信号  $f(t) = e^{at}u(t), a < 0$

(2) 当 $F(s)$ 收敛域不包含虚轴, 但以虚轴为界时,

拉氏变换和傅氏变换都存在  $F(j\omega) \neq F(s)|_{s=j\omega}$

如阶跃信号  $u(t) \leftrightarrow \frac{1}{s} \quad u(t) \leftrightarrow \frac{1}{j\omega} + \pi\delta(\omega)$

(3) 当 $F(s)$ 收敛域不包含虚轴而且不以虚轴为界时,

拉氏变换存在，但傅氏变换不存在

如单边指数增长信号  $f(t) = e^{at}u(t), a > 0$

## 小结

第一点：拉氏变换的定义及含义

傅氏变换

$f(t)e^{-\sigma t}$ 的

$$F(j\omega) = \int_{-\infty}^{+\infty} f(t) e^{-j\omega t} dt$$

傅氏变换

$$F(s) = \int_{-\infty}^{+\infty} f(t) e^{-st} dt$$

双边拉氏变换

限定 $f(t)$ 为  
因果信号

$$F(s) = \int_{0^-}^{+\infty} f(t) e^{-st} dt$$

单边拉氏变换

第二点：理解收敛域ROC的含义

第三点：拉氏变换的求解

第四点：拉氏变换与傅里叶变换的关系

### 3、拉氏变换的性质

时移（延时）特性（注：单边拉氏变换只研究右移。 $t_0 > 0$ ）

若  $f(t) \leftrightarrow F(s)$ ,

$\text{Re}[s] > \sigma_c$

则  $f(t-t_0)u(t-t_0) \leftrightarrow F(s)e^{-st_0}$ ,  $\text{Re}[s] > \sigma_c$

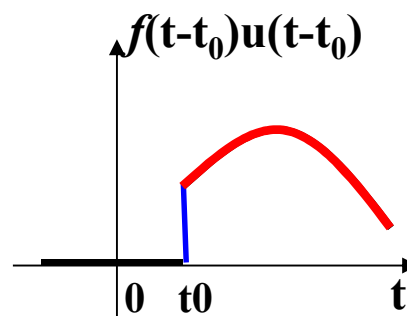
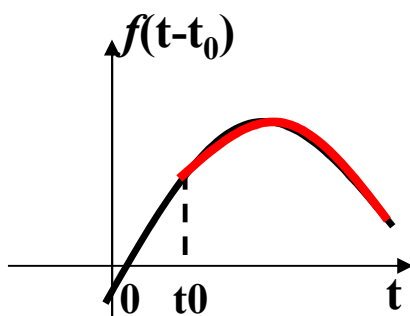
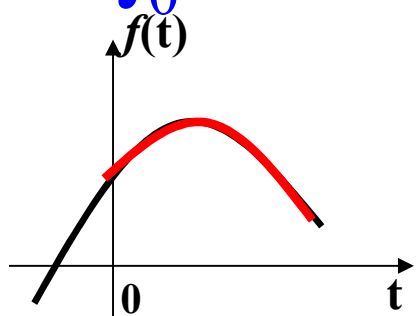
$$f(t-t_0) \leftrightarrow F(j\omega)e^{-j\omega t_0}$$

当  $f(t)$  不是因果信号时,

$$f(t-t_0) \leftrightarrow \int_{0^-}^{\infty} f(t-t_0)e^{-st} dt = \int_{-t_0}^{\infty} f(\tau)e^{-s(\tau+t_0)} d\tau$$

$$= \int_{-t_0}^{0^-} f(\tau)e^{-s(\tau+t_0)} d\tau + \int_{0^-}^{\infty} f(\tau)e^{-s(\tau+t_0)} d\tau$$

$$= \int_{0^-}^{t_0} f(t-t_0)e^{-st} dt + F(s)e^{-st_0}$$



当  $f(t)$  是因果信号时,  $f(t) = f(t)u(t)$



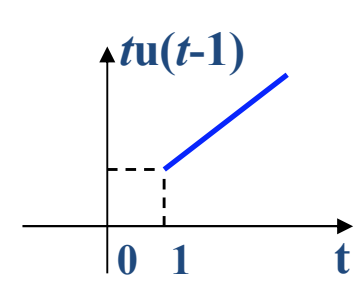
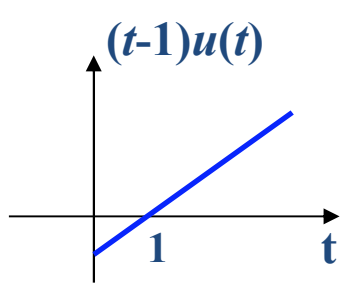
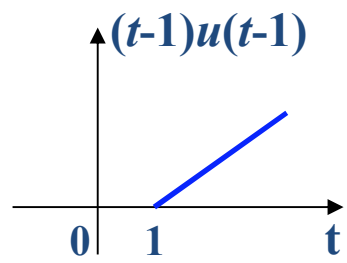
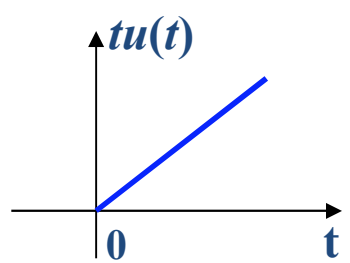
### 3、拉氏变换的性质

$$(t-1)u(t-1) \leftrightarrow \frac{1}{s^2} e^{-s}$$

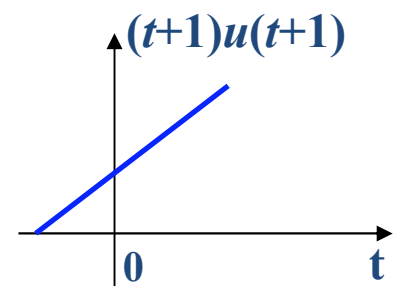
$$(t-1)u(t) = tu(t) - u(t) \leftrightarrow \frac{1}{s^2} - \frac{1}{s}$$

$$tu(t-1) = (t-1)u(t-1) + u(t-1) \leftrightarrow \frac{1}{s^2} e^{-s} + \frac{1}{s} e^{-s}$$

$$t^n u(t) \leftrightarrow \frac{n!}{s^{n+1}}$$



$$[(t+1)u(t+1)] = [(t+1)u(t)] \leftrightarrow \frac{1}{s^2} + \frac{1}{s}$$



### 3、拉氏变换的性质

#### · 复频移特性

若  $f(t) \leftrightarrow F(s)$ ,  $\text{Re}[s] > \sigma_c$

$$f(t)e^{j\omega_0 t} \leftrightarrow F[j(\omega - \omega_0)]$$

则  $f(t)e^{s_0 t} \leftrightarrow F(s - s_0)$ ,  $\text{Re}[s] - \text{Re}[s_0] > \sigma_c$

$$f(t - t_0)e^{s_0(t - t_0)} \leftrightarrow F(s - s_0)e^{-st_0}$$

#### 举例

$$\cos \omega_0 t \cdot u(t) \leftrightarrow \frac{s}{s^2 + \omega_0^2}, \quad \sin \omega_0 t \cdot u(t) \leftrightarrow \frac{\omega_0}{s^2 + \omega_0^2}, \quad \text{Re}[s] > 0$$

$$e^{-at} \cdot \cos \omega_0 t \cdot u(t) \leftrightarrow \frac{s + a}{(s + a)^2 + \omega_0^2} \quad \text{Re}[s] > -a$$

$$e^{-at} \cdot \sin \omega_0 t \cdot u(t) \leftrightarrow \frac{\omega_0}{(s + a)^2 + \omega_0^2} \quad \text{Re}[s] > -a$$

### 3、拉氏变换的性质

#### 时域微分定理

若  $f(t) \leftrightarrow F(s)$ ,  $\text{Re}[s] > \sigma_c$

则  $f'(t) \leftrightarrow sF(s) - f(0^-)$ ,  $\text{Re}[s] > \sigma_c$

$$\frac{d}{dt} f(t) \leftrightarrow j\omega F(j\omega)$$

证明:  $\frac{df(t)}{dt} \leftrightarrow \int_{0^-}^{\infty} \frac{df(t)}{dt} e^{-st} dt = \underbrace{f(t)e^{-st}}_{\lim_{t \rightarrow \infty} f(t)e^{-st} - f(0^-) = -f(0^-)} \Big|_{0^-}^{\infty} + \underbrace{s \int_{0^-}^{\infty} f(t)e^{-st} dt}_{sF(s)}$

$$= sF(s) - f(0^-)$$

$$f''(t) \leftrightarrow s^2 F(s) - sf(0^-) - f'(0^-)$$

推论:  $\frac{d^n}{dt^n} f(t) \leftrightarrow s^n F(s) - s^{n-1} f(0^-) - s^{n-2} f^{(1)}(0^-) - \dots - f^{(n-1)}(0^-)$

若  $f(t)$  为因果信号:  $\frac{d}{dt} f(t) \leftrightarrow sF(s)$

### 3、拉氏变换的性质

$$f'(t) \leftrightarrow sF(s) - f(0^-)$$

#### 应用举例1：求系统全响应

若系统的微分方程为： $y'(t) + 2y(t) = f(t)$

频域的方法  $[j\omega + 2]Y_{zs}(j\omega) = F(j\omega)$

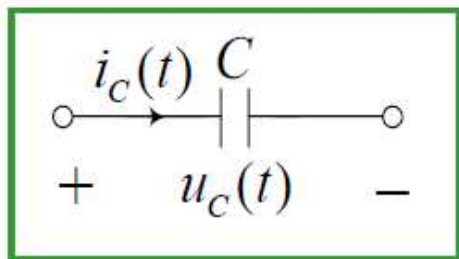
$$Y_{zs}(j\omega) = \frac{1}{j\omega + 2} F(j\omega) \quad \text{只能求零状态响应}$$

复频域的方法  $[sY(s) - y(0^-)] + 2Y(s) = F(s)$

系统的复频域分析，可以引入初始条件，求解全响应。

#### 应用举例2：电路系统分析

电容：



$$i_c(t) = C \frac{d}{dt} u_c(t)$$

$$I_c(s) = CsU_c(s) - Cu_c(0^-)$$

$$U_c(s) = \frac{1}{Cs} I_c(s) + \frac{1}{s} u_c(0^-)$$

### 3、拉氏变换的性质

#### 性质总结

时移:  $f(t-t_0)u(t-t_0) \leftrightarrow F(s)e^{-st_0}$

频移:  $f(t)e^{s_0 t} \leftrightarrow F(s-s_0) \quad \sigma - \sigma_0 > \sigma_c$

尺度:  $f(at) \leftrightarrow \frac{1}{a} F\left(\frac{s}{a}\right) \quad , \sigma > a\sigma_c \quad a > 0$

时域微分:  $f^{(n)}(t) \leftrightarrow s^n F(s) - s^{n-1}f(0^-) - \dots - f^{(n-1)}(0^-)$

时域积分:  $\int_{-\infty}^t f(\tau)d\tau \leftrightarrow \frac{F(s)}{s} + \frac{1}{s} \int_{-\infty}^{0^-} f(\tau)d\tau$

卷积定理:  $f_1 * f_2 \leftrightarrow F_1 \cdot F_2 \quad f_1 \cdot f_2 \leftrightarrow \frac{1}{2\pi j} F_1 * F_2$

复频域微分:  $t^n f(t) \leftrightarrow (-1)^n \frac{d^n F(s)}{ds^n}$

复频域积分:  $\frac{1}{t} f(t) \leftrightarrow \int_s^\infty F(s_1)ds_1$

初值定理:  $\lim_{t \rightarrow 0^+} f(t) = f(0^+) = \lim_{s \rightarrow \infty} sF(s)$

终值定理:  $\lim_{t \rightarrow \infty} f(t) = f(\infty) = \lim_{s \rightarrow 0} sF(s)$

### 3、拉氏变换的性质

例：利用性质求解下列信号的单边拉氏变换。

$$(1) e^{3t}u(t) - e^{-2t}u(t) \quad (1) \quad F(s) = \frac{1}{s-3} - \frac{1}{s+2} = \frac{5}{s^2 - s - 5}$$

$$(2) \delta(t - t_0) \quad (2) \quad \delta(t - t_0) \leftrightarrow e^{-st_0}$$

$$(3) \delta'(t - t_0) \quad (3) \quad \delta(t) \leftrightarrow 1 \Rightarrow \delta'(t) \leftrightarrow s \Rightarrow \delta'(t - t_0) \leftrightarrow se^{-st_0}$$

$$(4) t^n u(t) \quad (4) \quad u(t) \leftrightarrow \frac{1}{s} \Rightarrow tu(t) \leftrightarrow \frac{1}{s^2} \Rightarrow t^2 u(t) \leftrightarrow \frac{2}{s^3} \\ \Rightarrow t^n u(t) \leftrightarrow \frac{n!}{s^{n+1}}$$

$$(5) te^{-at}u(t) \quad (5) \quad e^{-at}u(t) \leftrightarrow \frac{1}{s+a} \Rightarrow te^{-at}u(t) \leftrightarrow \frac{1}{(s+a)^2}$$

$$(6) e^{at} \cos(\omega_0 t) u(t) \quad (6) \quad e^{at} \cos(\omega_0 t) u(t) \leftrightarrow \frac{s-a}{(s-a)^2 + \omega_0^2}$$

$$(7) e^{-t}u(t-2) \quad (7) \quad e^{-t}u(t-2) = e^{-[t-2+2]}u(t-2) \leftrightarrow \frac{1}{s+1}e^{-2(s+1)}$$

### 3、拉氏变换的性质

$$\delta(t) \leftrightarrow 1$$

$$\delta'(t) \leftrightarrow s$$

$$t^n u(t) \leftrightarrow \frac{n!}{s^{n+1}}$$

$$u(t) \leftrightarrow \frac{1}{s}$$

$$e^{at} u(t) \leftrightarrow \frac{1}{s-a}$$

$$\frac{t^{n-1}}{(n-1)!} e^{-at} u(t) \leftrightarrow \frac{1}{(s+a)^n}$$

$$\cos \omega_0 t \cdot u(t) \leftrightarrow \frac{s}{s^2 + \omega_0^2}$$

$$e^{-at} \cos \omega_0 t \cdot u(t) \leftrightarrow \frac{s+a}{(s+a)^2 + \omega_0^2}$$

$$\sin \omega_0 t \cdot u(t) \leftrightarrow \frac{\omega_0}{s^2 + \omega_0^2}$$

$$e^{-at} \sin \omega_0 t \cdot u(t) \leftrightarrow \frac{\omega_0}{(s+a)^2 + \omega_0^2}$$

### 3、拉氏变换的性质

【例】：求  $F(s) = \frac{1}{s^3}(1 - e^{-st_0})$ ,  $t_0 > 0$  的拉氏反变换。

解：将复频域拆解

①基本单边拉氏变换对

$$\frac{1}{2}t^2 u(t) \leftrightarrow \frac{1}{s^3}$$

$$\frac{t^n}{n!} u(t) \leftrightarrow \frac{1}{s^{n+1}}$$

$$f(t-t_0)u(t-t_0) \leftrightarrow F(s)e^{-st_0}$$

②时移特性

$$\frac{1}{2}(t-t_0)^2 u(t-t_0) \leftrightarrow \frac{1}{s^3} e^{-st_0}$$

$$\therefore f(t) = \frac{1}{2}t^2 u(t) - \frac{1}{2}(t-t_0)^2 u(t-t_0)$$



## 4、拉氏反变换

【例】：（有复根）求  $F(s) = \frac{1}{s(s^2 + s + 1)}$  的拉氏反变换  $f(t)$ 。

解：方法一（配方法：例6.3.6）★

$$\begin{aligned} F(s) &= \frac{A}{s} + \frac{Bs+C}{s^2+s+1} = \frac{1}{s} - \frac{s+1}{s^2+s+1} = \frac{1}{s} - \frac{(s+\frac{1}{2}) + \frac{1}{2}}{(s+\frac{1}{2})^2 + \frac{3}{4}} \\ &= \frac{1}{s} - \frac{s+\frac{1}{2}}{(s+\frac{1}{2})^2 + \frac{3}{4}} - \frac{\frac{\sqrt{3}}{2} \cdot \frac{1}{\sqrt{3}}}{(s+\frac{1}{2})^2 + \frac{3}{4}} \\ \therefore f(t) &= u(t) - e^{-\frac{1}{2}t} \cos\left(\frac{\sqrt{3}}{2}t\right)u(t) - \frac{1}{\sqrt{3}}e^{-\frac{1}{2}t} \sin\left(\frac{\sqrt{3}}{2}t\right)u(t) \end{aligned}$$

$$e^{-at} \cos \omega_0 t \cdot u(t) \leftrightarrow \frac{s+a}{(s+a)^2 + \omega_0^2}$$

$$e^{-at} \sin \omega_0 t \cdot u(t) \leftrightarrow \frac{\omega_0}{(s+a)^2 + \omega_0^2}$$

## 5、利用拉式变换求解微分方程

【例】：求全响应： $y''(t) + 3y'(t) + 2y(t) = 2f'(t) + f(t)$

已知： $f(t) = e^{-3t}u(t), y(0^-) = 1, y'(0^-) = 1$

【解】：

Step1 两边取拉氏变换，利用微分性质（代入初始状态）

$$\underline{s^2 Y(s)} - sy(0^-) - y'(0^-) + 3[sY(s) - y(0^-)] + \underline{2Y(s)} = 2sF(s) + F(s)$$

Step2 代数运算求出Y(s)

$$\begin{aligned} Y(s) &= \frac{2s+1}{s^2+3s+2} F(s) + \frac{sy(0^-) + y'(0^-) + 3y(0^-)}{s^2+3s+2} \\ &= \frac{2s+1}{s^2+3s+2} \frac{1}{s+3} + \frac{s+4}{s^2+3s+2} \quad \text{带入初始条件} \end{aligned}$$

## 5、利用拉式变换求解微分方程

### Step3 拉氏反变换求出 $y(t)$

$$Y(s) = \underbrace{\frac{-\frac{1}{2}}{s+1} + \frac{3}{s+2} + \frac{-\frac{5}{2}}{s+3}}_{\text{零状态响应}} + \underbrace{\frac{3}{s+1} + \frac{-2}{s+2}}_{\text{零输入响应}}$$

求反变换得到全响应：

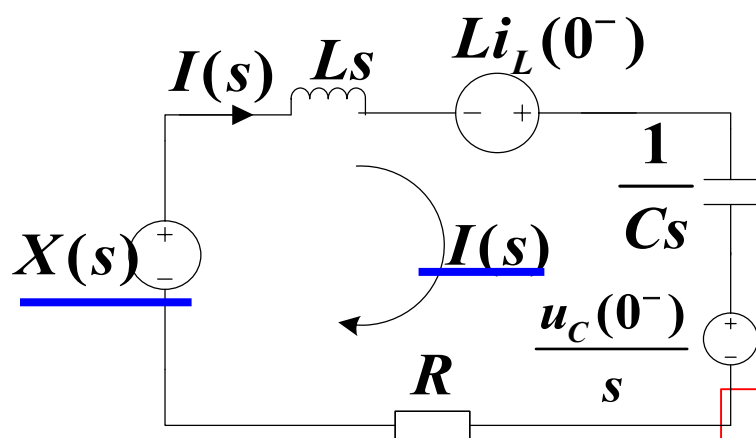
$$\begin{aligned} y(t) &= \underbrace{-\frac{1}{2}e^{-t}u(t) + 3e^{-2t}u(t) - \frac{5}{2}e^{-3t}u(t)}_{\text{零状态响应 } y_{zs}(t)} + \underbrace{3e^{-t}u(t) - 2e^{-2t}u(t)}_{\text{零输入响应 } y_{zi}(t)} \\ &= \underbrace{\frac{5}{2}e^{-t}u(t) + e^{-2t}u(t)}_{\text{自然响应 } y_n(t)} - \underbrace{\frac{5}{2}e^{-3t}u(t)}_{\text{强迫响应 } y_f(t)} \end{aligned}$$

## 5、利用拉式变换求解电路系统

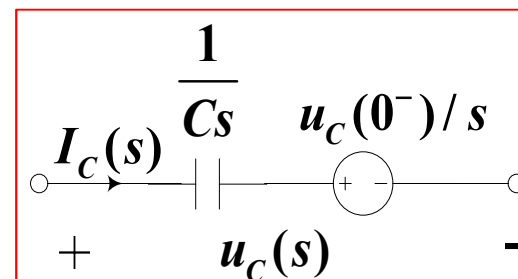
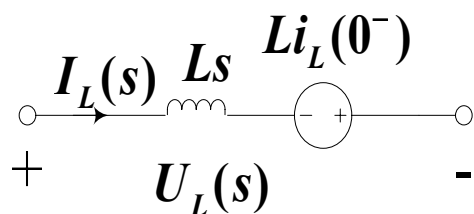
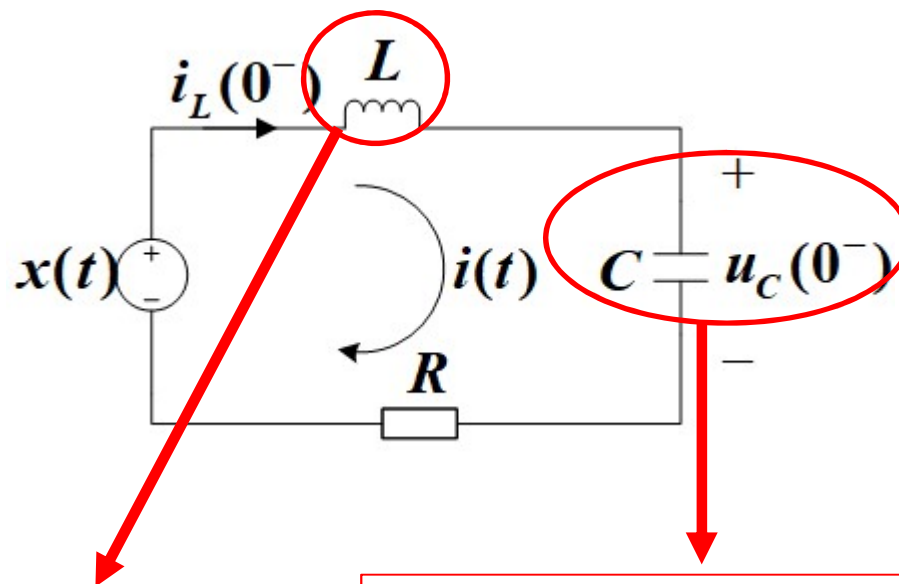
### . 电路系统的复频域求解

例1：如图电路， $R=5/2\Omega$ ， $C=1F$ ， $L=1H$ ，输入为电压源 $u(t)$   
输出为回路中电流，初始状态为  $i_L(0^-)=1A$ ， $u_C(0^-)=2V$   
求全响应电流。

Step1:画s域等效电路图



s 域等效电路图

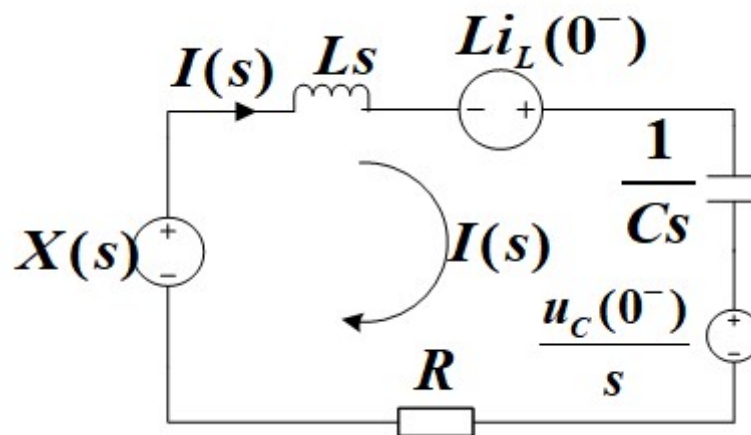


## 5、利用拉式变换求解电路系统

### 电路系统的复频域求解

Step2:列出代数方程, 求 $I(s)$

$$LsI(s) - Li_L(0^-) + \frac{1}{Cs}I(s) + \frac{u_c(0^-)}{s} + RI(s) = X(s)$$



s 域等效电路图

$$I(s) = \frac{X(s) + Li_L(0^-) - \frac{u_c(0^-)}{s}}{Ls + R + \frac{1}{Cs}} = \frac{s-1}{s^2 + \frac{5}{2}s + 1} = \frac{2}{s+2} + \frac{-1}{s+\frac{1}{2}}$$

Step3:拉式反变换求出 $i(t)$

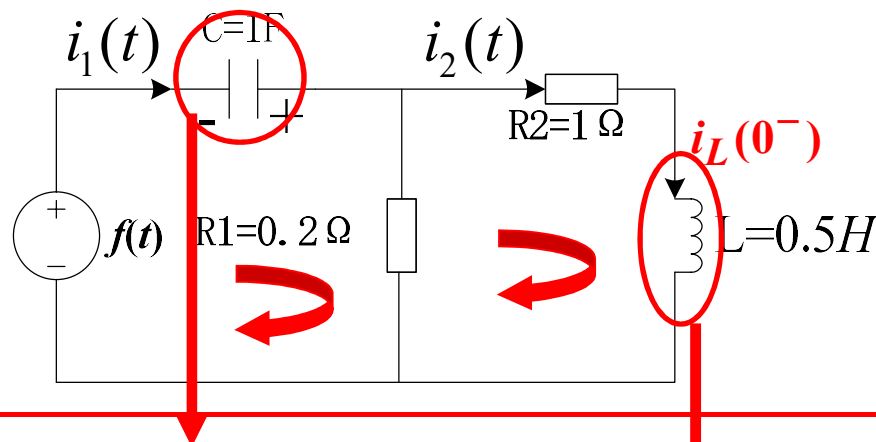
$$i(t) = 2e^{-2t}u(t) - e^{-\frac{1}{2}t}u(t)$$

例2: RLC电路如图所示, 已知

$$u_c(0^-) = 5V, i_L(0^-) = 4A$$

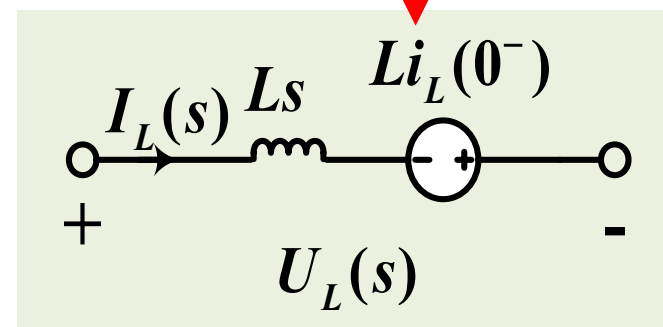
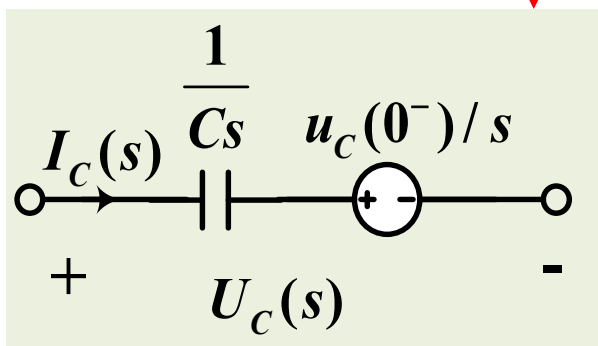
$$f(t) = 10u(t)V$$

求全响应电流 $i_1(t)$ 。



解: ①电路s域模型

$$\begin{cases} R \rightarrow R \\ C \rightarrow \frac{1}{Cs} + \frac{u_c(0^-)}{s} \\ L \rightarrow Ls - Li_L(0^-) \end{cases}$$



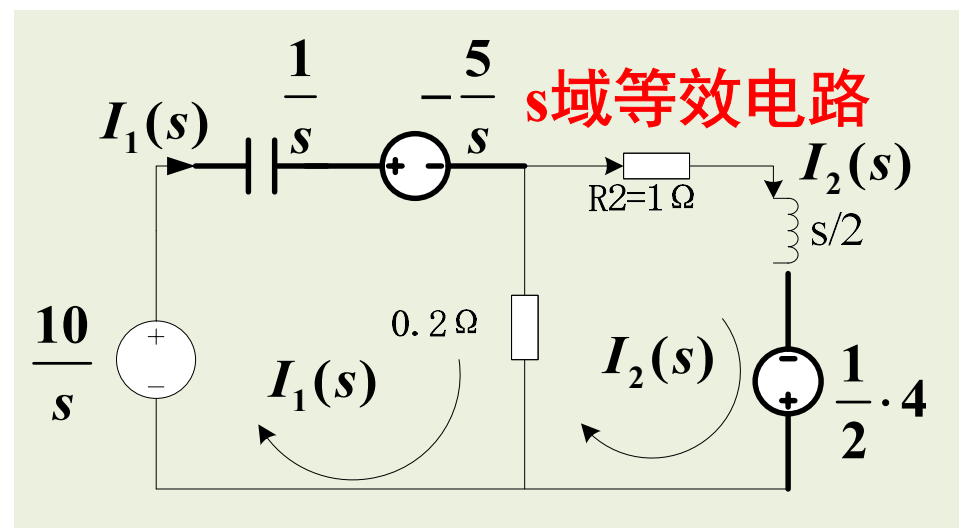
②由KVL得:

$$\begin{cases} \left(\frac{1}{5} + \frac{1}{s}\right)I_1(s) - \frac{1}{5}I_2(s) = \frac{10}{s} + \frac{5}{s} \\ -\frac{1}{5}I_1(s) + \left(\frac{1}{5} + 1 + \frac{s}{2}\right)I_2(s) = 2 \end{cases}$$

$$I_1(s) = \frac{79s + 180}{s^2 + 7s + 12} = -\frac{57}{s + 3} + \frac{136}{s + 4}$$

③拉氏反变换

$$y(t) = \mathcal{L}^{-1}[I_1(s)] = (-57e^{-3t} + 136e^{-4t})u(t)$$

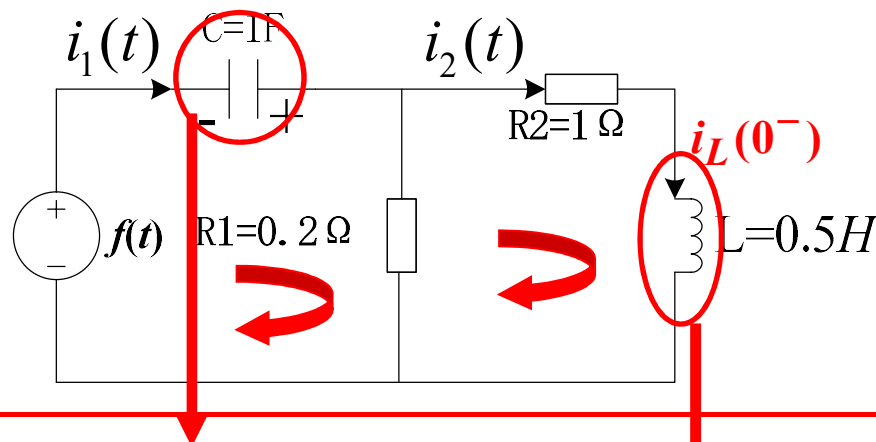


例2: RLC电路如图所示, 已知

$$u_c(0^-) = 5V, i_L(0^-) = 4A$$

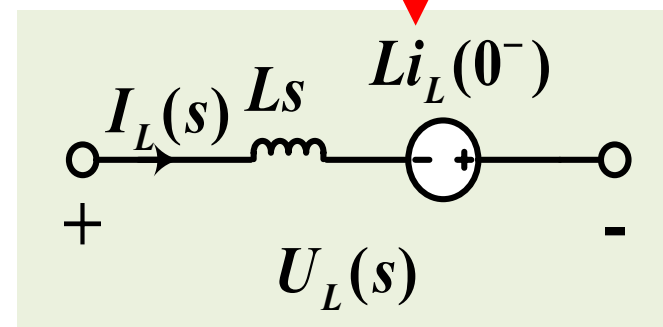
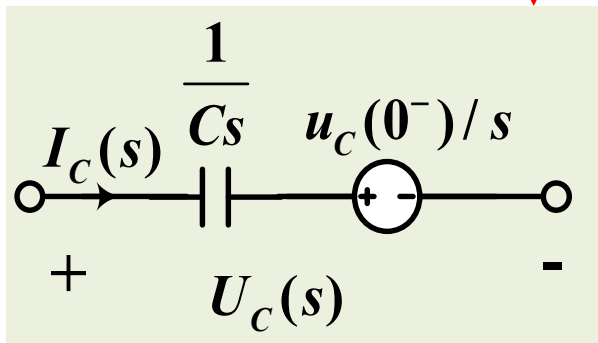
$$f(t) = 10u(t)V$$

求全响应电流  $i_1(t)$ 。



解: ①电路s域模型

$$\begin{cases} R \rightarrow R \\ C \rightarrow \frac{1}{Cs} + \frac{u_c(0^-)}{s} \\ L \rightarrow Ls - Li_L(0^-) \end{cases}$$



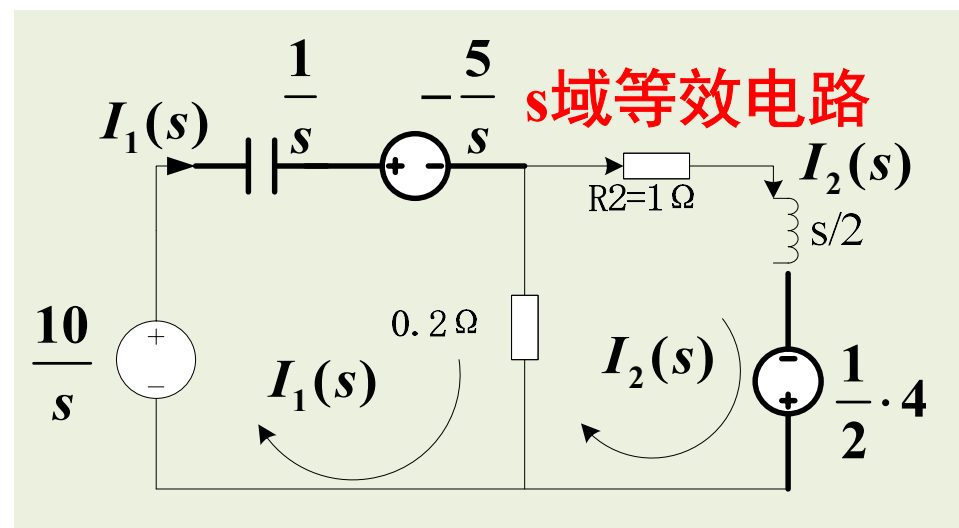
②由KVL得:

$$\begin{cases} \left(\frac{1}{5} + \frac{1}{s}\right)I_1(s) - \frac{1}{5}I_2(s) = \frac{10}{s} + \frac{5}{s} \\ -\frac{1}{5}I_1(s) + \left(\frac{1}{5} + 1 + \frac{s}{2}\right)I_2(s) = 2 \end{cases}$$

$$I_1(s) = \frac{79s + 180}{s^2 + 7s + 12} = -\frac{57}{s + 3} + \frac{136}{s + 4}$$

③拉氏反变换

$$y(t) = \mathcal{L}^{-1}[I_1(s)] = (-57e^{-3t} + 136e^{-4t})u(t)$$



## 6、系统函数和零状态响应的s域分析法

线性时不变系统的一般表示

$$b_n y^{(n)}(t) + b_{n-1} y^{(n-1)}(t) + \dots + b_1 y'(t) + b_0 y(t) = a_m f^{(m)}(t) + \dots + a_1 f'(t) + a_0 f(t)$$

系统为零状态，且输入为冲激信号时：

$$b_n h^{(n)}(t) + b_{n-1} h^{(n-1)}(t) + \dots + b_1 h'(t) + b_0 h(t) = a_m \delta^{(m)}(t) + \dots + a_1 \delta'(t) + a_0 \delta(t)$$



因果系统：  $\frac{d^n h(t)}{dt^n} \leftrightarrow s^n H(s) - \underbrace{s^{n-1} h(0^-) - s^{n-2} h^{(1)}(0^-) - \dots - h^{(n-1)}(0^-)}_{\text{等于零}}$

$$(b_n s^n + b_{n-1} s^{n-1} + \dots + b_1 s + b_0) H(s) = a_m s^n + \dots + a_1 s + a_0$$

等于零

$$H(s) = \frac{a_m s^n + \dots + a_1 s + a_0}{b_n s^n + b_{n-1} s^{n-1} + \dots + b_1 s + b_0}$$

$$H(s) \triangleq \frac{\mathbf{L}[y_{zs}(t)]}{\mathbf{L}[f(t)]} = \frac{Y_{zs}(s)}{F(s)}$$

$$H(s) = \mathbf{L}[h(t)]$$

$H(s)$ 称为**系统函数**或**传递函数**，与初始状态和输入无关，仅取决于系统本身属性。



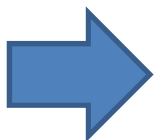
## 6、系统函数和零状态响应的s域分析法

$$b_n y^{(n)}(t) + b_{n-1} y^{(n-1)}(t) + \dots + b_1 y'(t) + b_0 y(t) = a_m f^{(m)}(t) + \dots + a_1 f'(t) + a_0 f(t)$$

$$H(s) = \frac{Y_{zs}(s)}{F(s)} = \frac{a_m s^n + \dots + a_1 s + a_0}{b_n s^n + b_{n-1} s^{n-1} + \dots + b_1 s + b_0}$$

系统函数 $H(s)$ 是线性时不变系统的自身属性，系统的很多性质都可以根据 $H(s)$ 分析。

系统函数 $H(s)$



- 时域特性
- 频域特性（滤波特性）
- 因果性
- 稳定性

## 6、系统函数和零状态响应的s域分析法

【例3】：已知 $H(s)$ 的极点、零点分布图如图所示，且 $h(0^+)=3$ ，求 $H(s)$ 的表达式。

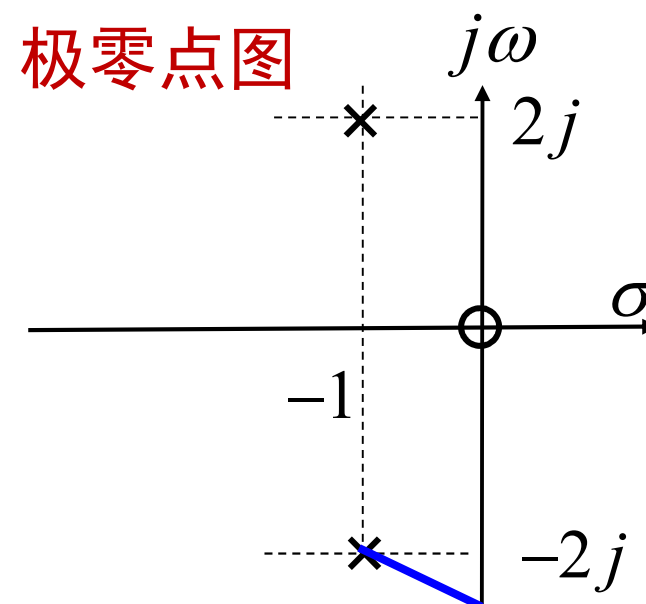
【解】：由极零点分布图

$$\begin{aligned} H(s) &= \frac{Ks}{[s - (-1 + 2j)][s - (-1 - 2j)]} \\ &= \frac{Ks}{(s+1)^2 + 4} = \frac{Ks}{s^2 + 2s + 5} \end{aligned}$$

根据初值定理有

$$h(0^+) = \lim_{s \rightarrow \infty} sH(s) = \lim_{s \rightarrow \infty} \frac{Ks^2}{s^2 + 2s + 5} = K$$

$$\therefore H(s) = \frac{3s^2}{s^2 + 2s + 5}$$



## 7、系统的稳定性

### 极零点图与稳定性

除了一个常数因子外，系统的零极点可以完全表征系统，借助于系统函数的极零点图可以确定系统的因果性，稳定性。

#### 1) 因果性：

如果  $t < 0$  时  $h(t) = 0$ ，则系统是因果的。

#### 2) 稳定性：

如果系统稳定，则有  $\int_{-\infty}^{\infty} |h(t)| dt < \infty$ 。

因此  $H(j\omega)$  必存在。意味着  $H(s)$  的收敛域必然包含  $j\omega$

综合以上两点，可以得到：因果稳定系统的  $H(s)$  其全部极点必须位于S平面的左半平面。

## 7、系统的稳定性

### 系统稳定性（BIBO稳定）的判断：

#### ◆ 时域上：根据 $h(t)$ 是否绝对可积

如果 $h(t)$ 绝对可积，即 $\int_{-\infty}^{\infty} |h(\tau)| d\tau < \infty$ ，则系统稳定。

#### ◆ 频域上：根据FT是否存在

如果 $h(t)$ 的傅里叶变换存在，即 $H(j\omega)$ 存在，则系统稳定。

#### ◆ 复频域上：根据极点位置

对于因果系统，如果所有极点都在左半开平面，则系统稳定。  
...

#### ◆ 复频域上：根据收敛域

如果收敛域（ROC）包含虚轴，则系统稳定。

关于稳定性的更为严格的定义和描述，参考：B.P.Lathi著《线性系统与信号》，西安交通大学出版社，P156

## 7、系统的稳定性

例：根据线性时不变系统系统函数确定稳定性。 $H(s) = \frac{s-1}{(s+1)(s-2)}$

分析：未给出收敛域，需分情况讨论稳定性。

解：

确定极点： $s_1 = -1$ ,  $s_2 = 2$ 。

确定收敛域：极点必须位于收敛域之外，对应三种情况。

$\text{Re}[s] > 2$ ，不含虚轴，不稳定，因果

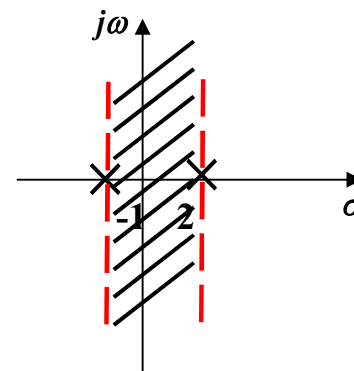
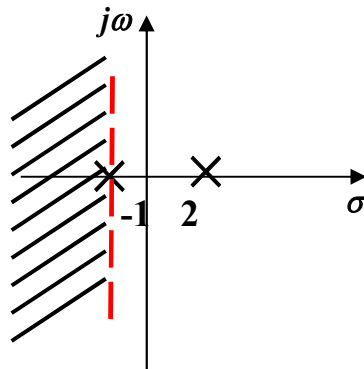
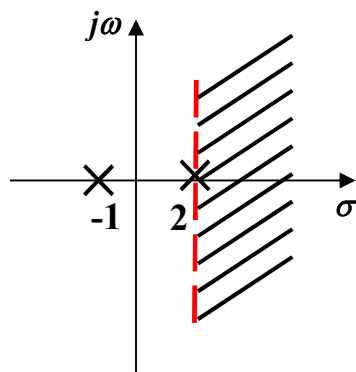
$$h(t) = \frac{2}{3}e^{-t}u(t) + \frac{1}{3}e^{2t}u(t)$$

$\text{Re}[s] < -1$ ，不含虚轴，不稳定，反因果

$$h(t) = -\frac{2}{3}e^{-t}u(-t) - \frac{1}{3}e^{2t}u(-t)$$

$-1 < \text{Re}[s] < 2$ ，含虚轴，稳定，双边

$$h(t) = \frac{2}{3}e^{-t}u(t) - \frac{1}{3}e^{2t}u(-t)$$



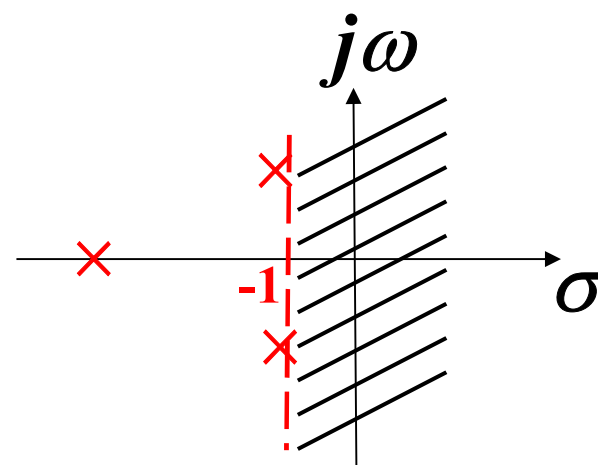
## 7、系统的稳定性

例：因果系统： $H(s)=\frac{s^2+s+5}{s^3+6s^2+10s+8}$ ，判断系统的稳定性。

解：求极点  $H(s)=\frac{s^2+s+5}{(s+4)[(s+1)+1]^2}$

极点： $s_1=-4$ ， $s_2=-1+j$ ， $s_3=-1-j$

三个极点的实部均小于0，全部位于s平面的左半平面，因此，系统是稳定的。

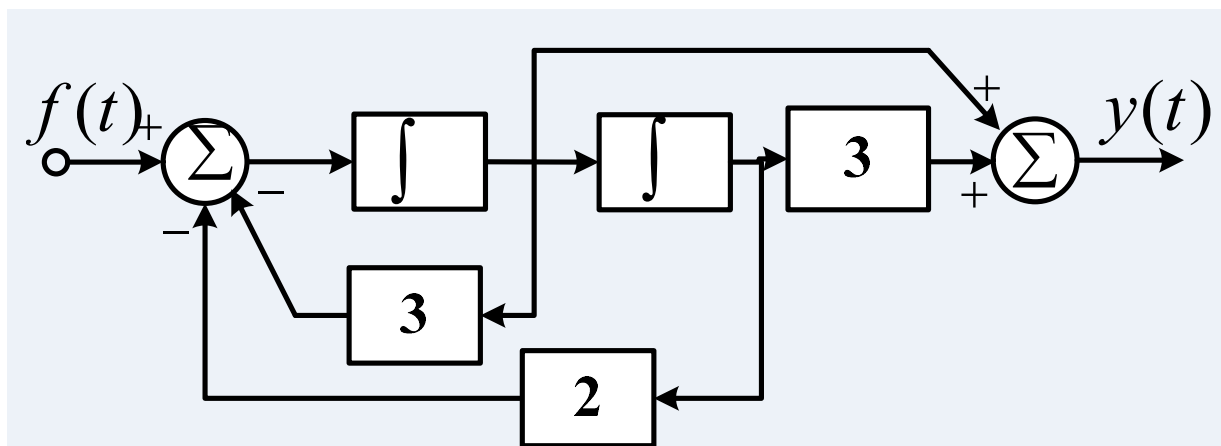


由 $H(s)$ 判断稳定性的方法：求出极点（特征方程的特征根），再根据收敛域的情况，来判断稳定性、因果性。

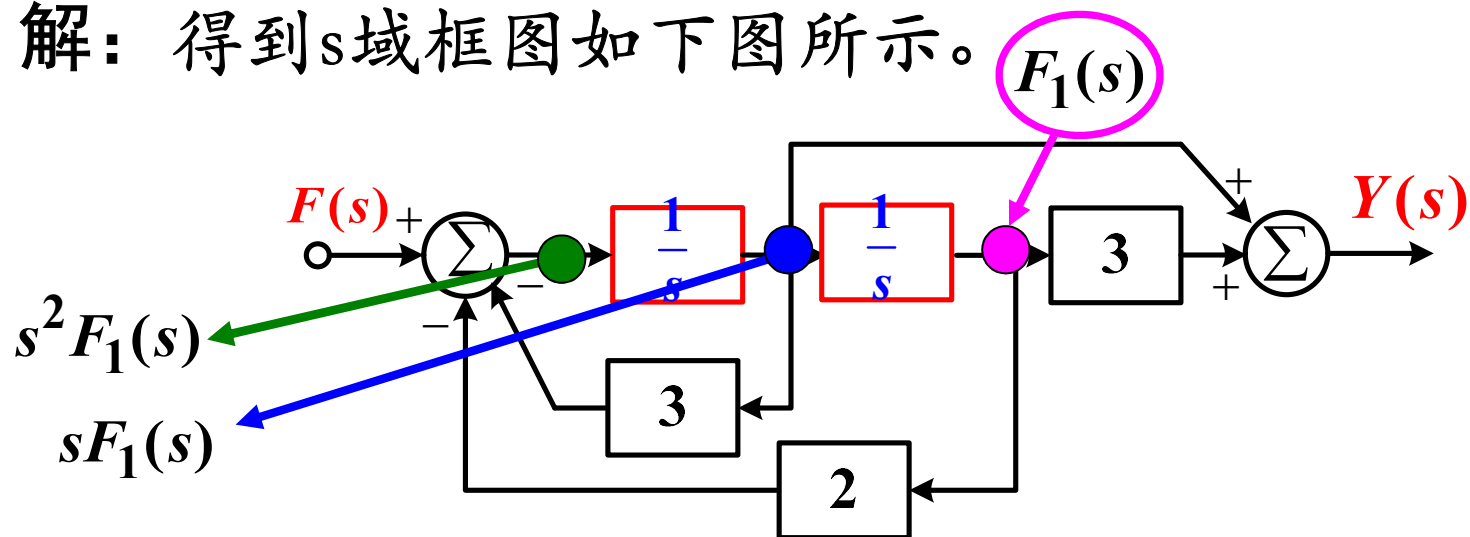
劳斯-霍尔维茨稳定性判断（了解），可不用求极点。

## 8、系统的框图表示

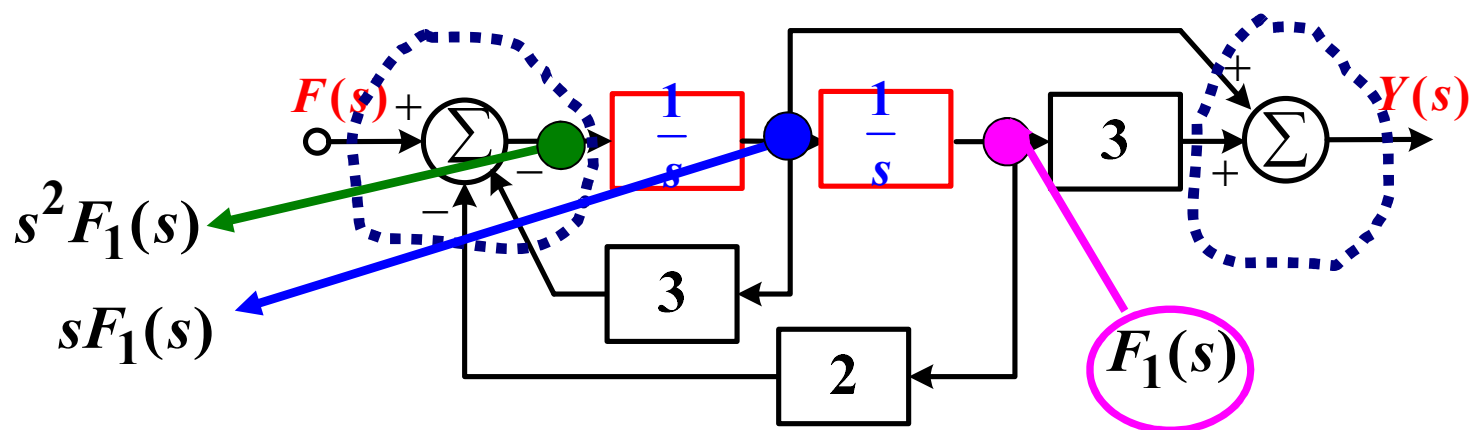
【例】某LTI系统的框图如图所示，求系统函数 $H(s)$ ，并建立描述系统的微分方程。



解：得到s域框图如下图所示。



## 8、系统的框图表示



$$s^2 F_1(s) = -3sF_1(s) - 2F_1(s) + F(s)$$

$$\therefore F_1(s) = \frac{1}{s^2 + 3s + 2} F(s)$$

$$\therefore Y(s) = (s + 3)F_1(s) = \frac{s + 3}{s^2 + 3s + 2} F(s)$$

$$\therefore H(s) = \frac{Y(s)}{F(s)} = \frac{s + 3}{s^2 + 3s + 2}$$

$$\therefore \text{微分方程为 } y''(t) + 3y'(t) + 2y(t) = f'(t) + 3f(t)$$



## 补充习题：拉氏变换求全响应（灵活用初始条件）

某系统函数  $H(s)$  的零极图如下图所示，且  $H(0)=5$ ，当初始条件  $y(0^+)=2$ ， $y'(0^+)=3$ ，激励  $x(t)=e^{-t}u(t)$  时，求该系统的系统函数  $H(s)$ ，系统的零输入响应，零状态响应，全响应。

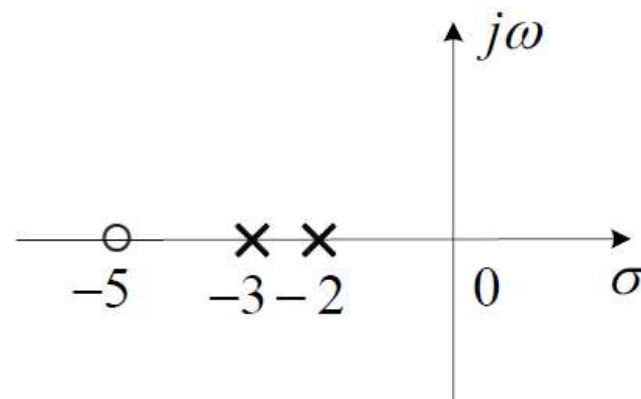
解：

$$\text{令 } H(s) = K \frac{s+5}{(s+3)(s+2)}$$

$$\because H(0) = \frac{5}{6}K = 5$$

$$\therefore K = 6$$

$$\therefore H(s) = \frac{6(s+5)}{(s+3)(s+2)}$$



系统方程为  $y''(t) + 5y'(t) + 6y(t) = 6x'(t) + 30x(t)$

## 补充习题：拉氏变换求全响应（灵活用初始条件）

系统方程为  $y''(t) + 5y'(t) + 6y(t) = 6x'(t) + 30x(t)$

$$x(t) = e^{-t}u(t) \leftrightarrow X(s) = \frac{1}{s+1}$$

系统方程两边求拉氏变换，得到：（按0+定义）

$$s^2Y(s) - sy(0^+) - y'(0^+) + 5sY(s) - 5y(0^+) + 6Y(s) = 6sX(s) - 6x(0^+) + 30X(s)$$

$$\therefore Y(s) = \frac{6s+30}{s^2+5s+6}X(s) + \frac{y'(0^+) + sy(0^+) + 5y(0^+) - 6x(0^+)}{s^2+5s+6}$$

$$= \frac{6s+30}{(s+2)(s+3)(s+1)} + \frac{2s+7}{(s+2)(s+3)} = \left( \frac{12}{s+1} - \frac{18}{s+2} + \frac{6}{s+3} \right) + \left( \frac{3}{s+2} - \frac{1}{s+3} \right)$$

$$\text{零状态响应 } y_{zs}(t) = 12e^{-t}u(t) - 18e^{-2t}u(t) + 6e^{-3t}u(t)$$

$$\text{零输入响应 } Y_{zi}(s) = 3e^{-2t}u(t) - e^{-3t}u(t)$$

$$\text{全响应 } y(t) = y_{zs}(t) + y_{zi}(t) = 12e^{-t}u(t) - 15e^{-2t}u(t) + 5e^{-3t}u(t)$$

# 第七章 Z变换



§ 7.1 引言

§ 7.2 Z变换的导出

§ 7.3 Z变换的收敛域

§ 7.4 Z反变换

§ 7.5 ZT与FT

§ 7.6 离散系统Z域分析

§ 7.7 用零极点图确定FT

§ 7.8 离散时间系统函数分析

# 1、Z变换的收敛域

小结

双边z变换的收敛域： $X(z) = \sum_{n=-\infty}^{\infty} x(n)z^{-n}$

1 有限长序列

全平面收敛

2 右边序列

圆外收敛

3 左边序列

圆内收敛

4 双边序列

环状收敛

单边z变换的收敛域

$$X(z) = \sum_{n=0}^{\infty} x(n)z^{-n}$$

一定是最外部极点的外部，且包括  $|z| = \infty$ 。

离散时间非因果信号和系统也有很多应用，所以双边z变换也非常重要。

单边z变换和双边z变换统称为z变换。

## 拉式变换 (单边)

时移  $x(t - t_0)u(t - t_0) \leftrightarrow X(s)e^{-st_0}$

时域微分  $\frac{dx(t)}{dt} \leftrightarrow sX(s) - x(0^-)$

复频移  $x(t)e^{s_0 t} \leftrightarrow X(s - s_0)$

时域展缩  $x(at) \leftrightarrow \frac{1}{a}X\left(\frac{s}{a}\right), a > 0$

复频域/z域微分  $tx(t) \leftrightarrow -\frac{dX(s)}{ds}$

卷积  $x_1(t) * x_2(t) \leftrightarrow X_1(s) \cdot X_2(s)$

## z 变换 (单、双边)

$x(n + n_0) \leftrightarrow z^{n_0}X(z)$

$x(n - m)u(n) \leftrightarrow$

$z^{-m} \left[ X(z) + \sum_{k=-m}^{-1} x(k)z^{-k} \right]$

z域展缩  $a^n x(n) \leftrightarrow X\left(\frac{z}{a}\right)$

时域反转  $x(-n) \leftrightarrow X\left(\frac{1}{z}\right)$

$nx(n) \leftrightarrow -z \frac{dX(z)}{dz}$

$x_1(n) * x_2(n) \leftrightarrow X_1(z) \cdot X_2(z)$

# 1、Z变换的收敛域

$$\text{双边 } X(z) + \text{收敛域} \xleftrightarrow{\text{一一映射}} x(n)$$

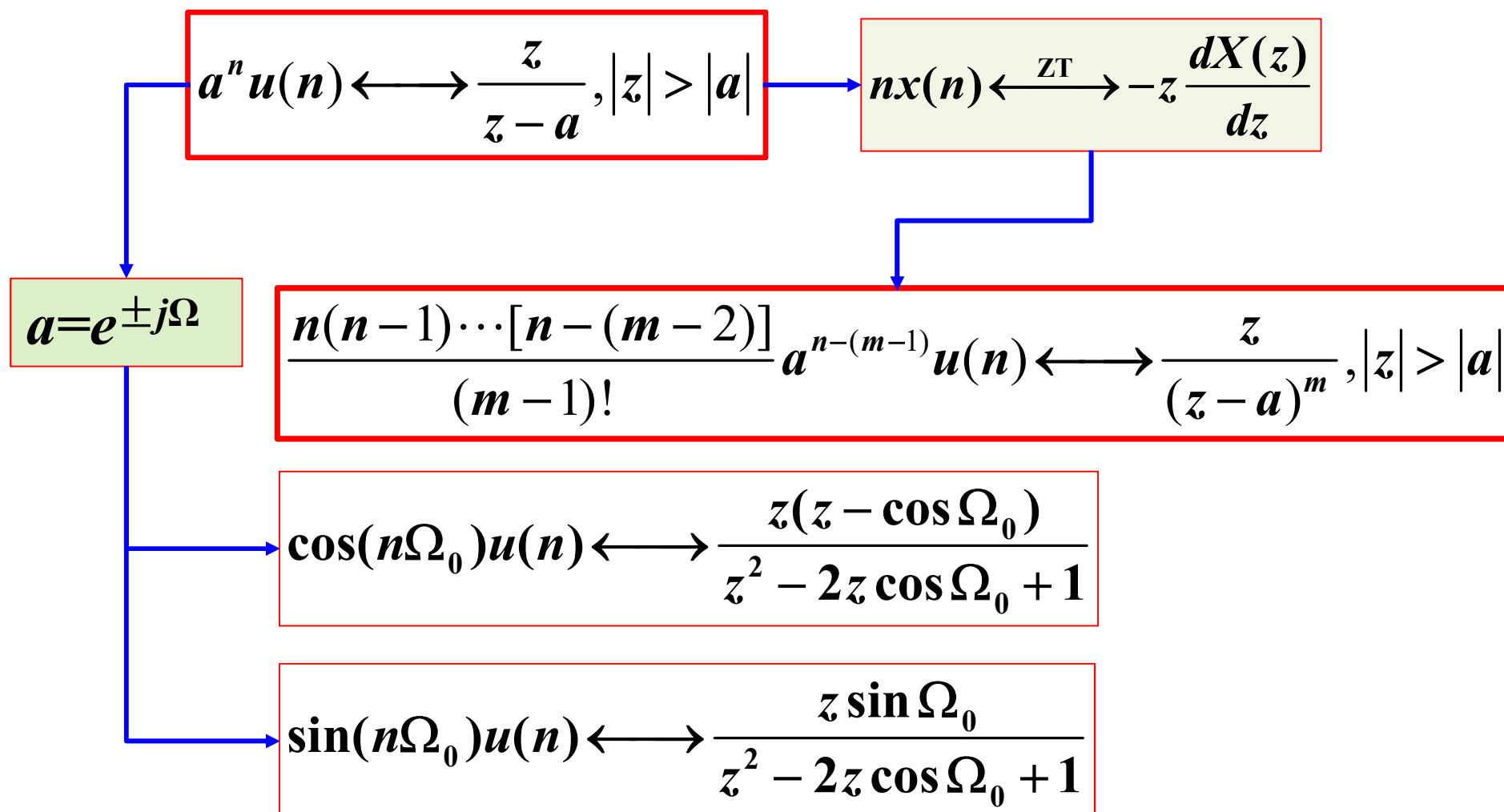
当收敛域为  $|z| > |a|$  时，为右边序列；

当收敛域为  $|z| < |a|$  时，为左边序列。

$X(z)$	$x(n)$	
	$ROC :  z  >  a $	$ROC :  z  <  a $
$\frac{1}{1 - az^{-1}} = \frac{z}{z - a}$	$a^n u(n)$	$-a^n u(-n - 1)$
$\frac{z^{-1}}{(1 - az^{-1})^2} = \frac{z}{(z - a)^2}$	$na^{n-1} u(n)$	$-na^{n-1} u(-n - 1)$

## 2、Z反变换

利用一些基本ZT对，可求出IZT（根据ROC，但常用多为单边）



## 2、Z反变换

例2：已知  $X(z) = \frac{z^3}{\left(z - \frac{1}{2}\right)^2 \left(z - \frac{3}{4}\right)}$ ,  $|z| > \frac{3}{4}$ , 求其反变换  $x(n)$ 。

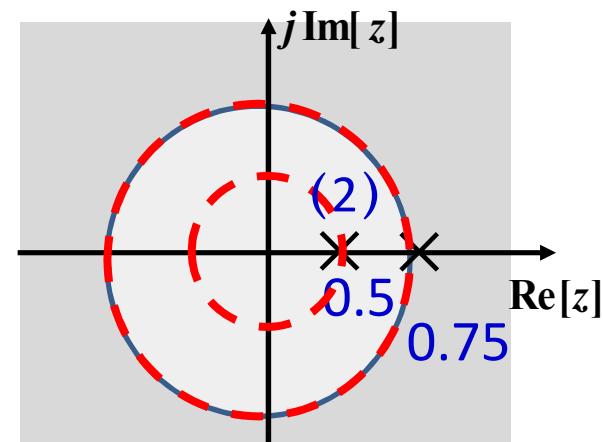
解： 
$$X(z) = z \frac{z^2}{\left[z - 1/2\right]^2 (z - 3/4)}$$

$$= z \left[ \frac{A}{z - 3/4} + \frac{C_2}{(z - 1/2)^2} + \frac{C_1}{z - 1/2} \right]$$

$$= z \left[ \frac{9}{z - 3/4} + \frac{-1}{(z - 1/2)^2} + \frac{-8}{z - 1/2} \right]$$

$$x(n) = 9 \left(\frac{3}{4}\right)^n u(n) - n \left(\frac{1}{2}\right)^n u(n) - 8 \left(\frac{1}{2}\right)^n u(n)$$


$$C_k = \frac{1}{(r-k)!} \frac{d^{r-k}}{dz^{r-k}} \left[ (z - z_i)^r X(z) \right] \Big|_{z=z_i}$$








### 3、常用z变换对与性质


#### 单边ZT时


  $u(n-1) \longleftrightarrow \frac{1}{z-1} = \frac{z^{-1}}{1-z^{-1}} \quad |z| > 1$

  $u(n+1) \longleftrightarrow \frac{1}{1-z^{-1}}$

  $\delta(n+m) \longleftrightarrow 0 \quad m > 0$

  $R_N(n) \longleftrightarrow \frac{1-z^{-N}}{1-z^{-1}} = \frac{z^N-1}{z^{N-1}(z-1)} \quad |z| > 0$

  $u(n) * u(n) = (n+1)u(n) \longleftrightarrow \frac{z^2}{(z-1)^2} = \frac{1}{(1-z^{-1})^2}$

  $\sum_{i=0}^n x(i) = x(n) * u(n) \longleftrightarrow X(z) \cdot \frac{1}{1-z^{-1}}$

## 4、差分方程的变换域解

---

2.求解前向差分方程（注意初始状态）

$$y(n+i) \leftrightarrow z^i [Y(z) - \sum_{j=0}^{i-1} z^{-j} y(j)]$$

已知 $x(n)=x(n)u(n)$ ，求 $y(n)$ 。

---

①若初始状态为： $y(0), y(1), \dots, y(k-1)$ ，输出初始状态中包含了输入 $x(0), x(1), \dots, x(m-1)$ 影响

方法：两边做单边ZT，利用左移特性，代入 $y(n)$ 的初始状态和 $x(n)$ 。

②若初始状态为 $y_{zi}(0), y_{zi}(1), \dots, y_{zi}(k-1)$ ，输出初始状态仅与储能有关，与输入 $x(0), x(1), \dots, x(m-1)$ 无关

方法：两边取单边ZT，利用左移特性，左边带入初始状态 $y_{zi}(0), y_{zi}(1), \dots, y_{zi}(k-1)$ ；但右边的 $x(0), x(1), \dots, x(m-1)$ 全部取零。

## 4、差分方程的变换域解

---

例2:某系统为 $y(n+2)+3y(n+1)+2y(n)=2x(n+1)$ ，输入 $x(n)=u(n)$ ，

初始条件为 $y(0)=0$ ， $y(1)=1$ ，求 $y(n)$ 。

---

例3:某系统为 $y(n+2)+3y(n+1)+2y(n)=2x(n+1)$ ，输入 $x(n)=u(n)$ ，

初始条件为 $y_{zi}(0)=0$ ， $y_{zi}(1)=-1$ ，求 $y(n)$ 。

## 4、差分方程的变换域解

例2:某系统为 $y(n+2)+3y(n+1)+2y(n)=2x(n+1)$ ，输入 $x(n)=u(n)$ ，初始条件为 $y(0)=0$ ， $y(1)=1$ ，求 $y(n)$ 。

解：对差分方程两端求单边Z变换：

$$z^2[Y(z) - y(0) - y(1)z^{-1}] + 3z[Y(z) - y(0)] + 2Y(z) = 2z[X(z) - x(0)]$$

$$Y(z) = \underbrace{\frac{2zX(z)}{z^2 + 3z + 2}}_{Y_{zs}(z)} + \underbrace{\frac{z^2 y(0) + y(1)z + 3zy(0) - 2zx(0)}{z^2 + 3z + 2}}_{Y_{zi}(z)}$$

$$x(n) = u(n) \leftrightarrow \frac{z}{z-1}$$

$$\begin{aligned} Y(z) &= \frac{2z}{z^2 + 3z + 2} \frac{z}{z-1} + \frac{-z}{z^2 + 3z + 2} \\ &= z \left[ \frac{1}{z+1} - \frac{4}{3} \frac{1}{z+2} + \frac{1}{3} \frac{1}{z-1} \right] + z \left[ \frac{-1}{z+1} + \frac{1}{z+2} \right] \end{aligned}$$

$$y(n) = \underbrace{\left[ (-1)^n - \frac{4}{3}(-2)^n + \frac{1}{3} \right] u(n)}_{y_{zs}(n)} + \underbrace{\left[ (-2)^n - (-1)^n \right] u(n)}_{y_{zi}(n)} = \left[ \frac{1}{3} - \frac{1}{3}(-2)^n \right] u(n)$$

## 4、差分方程的变换域解

例3:某系统为 $y(n+2)+3y(n+1)+2y(n)=2x(n+1)$ ，输入 $x(n)=u(n)$ ，初始条件为 $y_{zi}(0)=0$ ， $y_{zi}(1)=-1$ ，求 $y(n)$ 。

**解：**差分方程两边求单边Z变换。左边的初始条件为零输入响应；右端求Z变换时，只保留 $X(z)$ 项。

$$z^2[Y(z) - y_{zi}(0) - y_{zi}(1)z^{-1}] + 3z[Y(z) - y_{zi}(0)] + 2Y(z) = 2zX(z)$$

$$(z^2 + 3z + 2)Y(z) = 2zX(z) + z^2 y_0(0) + zy_0(1) + 3zy_0(0)$$

$$Y(z) = \underbrace{\frac{2zX(z)}{z^2 + 3z + 2}}_{Y_{zs}(z)} + \underbrace{\frac{z^2 y_{zi}(0) + zy_{zi}(1) + 3zy_{zi}(0)}{z^2 + 3z + 2}}_{Y_{zi}(z)}$$

$$Y(z) = \frac{2z}{z^2 + 3z + 2} \cdot \frac{z}{z-1} + \frac{-z}{z^2 + 3z + 2}$$

$$Y(z) = \frac{1}{3} \frac{z}{z-1} + \frac{1}{3} \frac{z}{z+2}$$

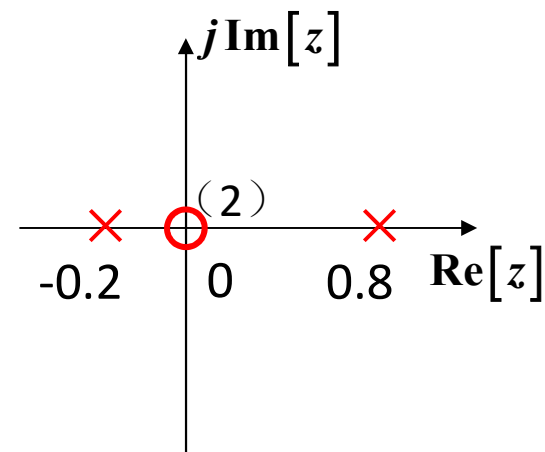
$$y(n) = \left[ \frac{1}{3} - \frac{1}{3}(-2)^n \right] u(n)$$

## 4、利用Z变换分析线性时不变系统（离散）

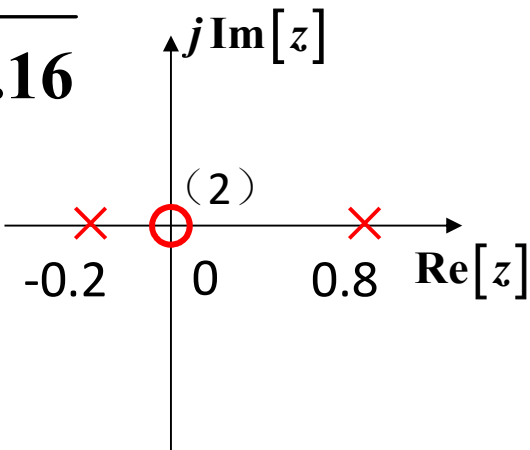
例：系统  $y(n) - 0.6y(n-1) - 0.16y(n-2) = 5x(n)$ ，  
求系统函数  $H(z)$  和单位样值响应  $h(n)$ ，并画出极零点图。

$$\begin{aligned}\text{解： } H(z) &= \frac{5}{1 - 0.6z^{-1} - 0.16z^{-2}} = \frac{5z^2}{z^2 - 0.6z - 0.16} \\ &= \frac{5z^2}{(z + 0.2)(z - 0.8)} = \frac{z}{z + 0.2} + \frac{4z}{z - 0.8}\end{aligned}$$

根据收敛域，分三种情况讨论.....



## 4、利用Z变换分析线性时不变系统（离散）

$$H(z) = \frac{5}{1 - 0.6z^{-1} - 0.16z^{-2}} = \frac{5z^2}{z^2 - 0.6z - 0.16}$$
$$= \frac{5z^2}{(z + 0.2)(z - 0.8)} = \frac{z}{z + 0.2} + \frac{4z}{z - 0.8}$$


当收敛域为 $|z| > 0.8$ 时

$$h(n) = (-0.2)^n u(n) + 4 \times 0.8^n u(n)$$

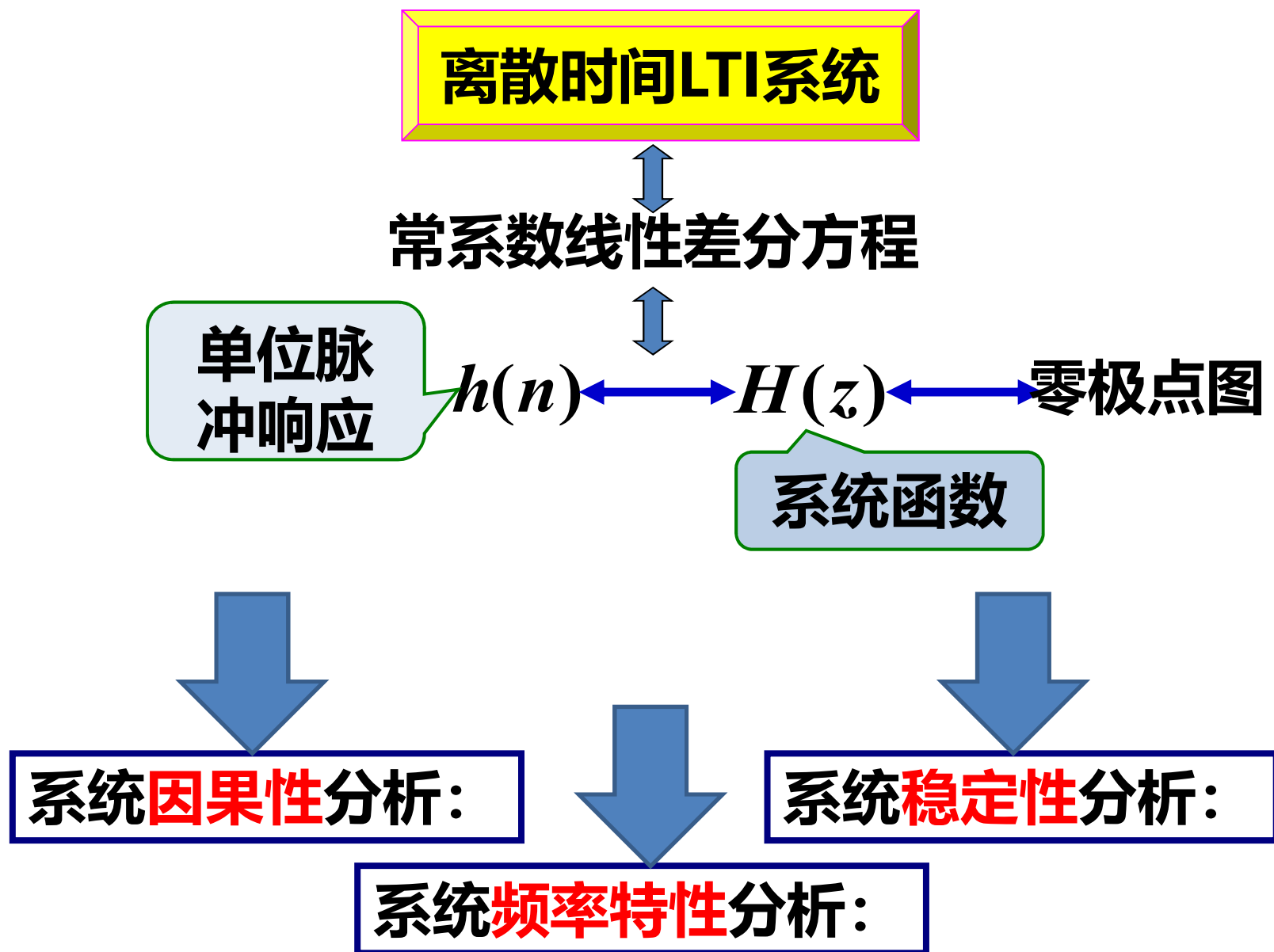
当收敛域为 $|z| < 0.2$ 时

$$h(n) = -(-0.2)^n u(-n-1) - 4 \times 0.8^n u(-n-1)$$

当收敛域为 $0.2 < |z| < 0.8$ 时

$$h(n) = (-0.2)^n u(n) - 4 \times 0.8^n u(-n-1)$$

## 4、利用Z变换分析线性时不变系统（离散）





## 4、利用Z变换分析线性时不变系统（离散）

### 1.系统函数（因果性和稳定性）

因果系统： $h(n) = h(n)u(n)$

判断： $h(n) = a^n u(n), H(z) = \frac{z}{z-a}, |z| > |a|$

$h(n) = -a^n u(-n-1), H(z) = \frac{z}{z-a}, |z| < |a|$

系统因果的条件： $H(z)$ 收敛域为圆外收敛(包含无穷远点)

稳定系统：系统对于任意一个有界输入，输出也有界。

LTI离散时间系统稳定的充分必要条件是：

单位样值响应 $h(n)$ 是绝对可和的  $\sum_{n=-\infty}^{+\infty} |h(n)| < \infty$ 。

系统稳定的条件： $H(z)$ 收敛域包含单位圆